

34
2ej-



UNIVERSIDAD NACIONAL AUTONOMA
DE MEXICO

FACULTAD DE CIENCIAS

DISPERSION DE NEUTRONES POR
CAVIDADES ESFERICAS GRANDES

T E S I S

QUE PARA OBTENER EL TITULO DE:

F I S I C O

P R E S E N T A :

HECTOR REYES SANABRIA



MEXICO, D. F.

1992

FALLA



Universidad Nacional
Autónoma de México



UNAM – Dirección General de Bibliotecas Tesis Digitales Restricciones de uso

DERECHOS RESERVADOS © PROHIBIDA SU REPRODUCCIÓN TOTAL O PARCIAL

Todo el material contenido en esta tesis está protegido por la Ley Federal del Derecho de Autor (LFDA) de los Estados Unidos Mexicanos (México).

El uso de imágenes, fragmentos de videos, y demás material que sea objeto de protección de los derechos de autor, será exclusivamente para fines educativos e informativos y deberá citar la fuente donde la obtuvo mencionando el autor o autores. Cualquier uso distinto como el lucro, reproducción, edición o modificación, será perseguido y sancionado por el respectivo titular de los Derechos de Autor.

INDICE.

	Pag.
RESUMEN	i
INTRODUCCION.	ii
CAPITULO I: EVOLUCION DE CAVIDADES EN LOS MECANISMOS DE FRACTURA Y LA ALEACION NIMONIC 80A	1
- 1.1 CAVITACION	1
- 1.2 NIMONIC 80A	4
- 1.3 DISTRIBUCION LOG-NORMAL	9
CAPITULO II: DISPERSION POR CAVIDADES	12
- 2.1 SECCION EFICAZ DIFERENCIAL	12
- 2.2 TECNICA SANS	28
- 2.3 TECNICA VSANS	36
CAPITULO III: DISPOSITIVO EXPERIMENTAL	45
- 3.1 FUENTE DE NEUTRONES: REACTOR EXPERIMENTAL DE ALTO FLUJO, INSTITUT LAUE LANGEVIN (ILL-HFR)	45
- 3.2 SPECTROMETRO DE DOBLE CRISTAL DE ALTA RESOLUCION ANGULAR (DCS). DESCRIPCION DEL EXPERIMENTO	47
- 3.3 INSTRUMENTO S18 (ILL-HFR). DESCRIPCION DEL INSTRUMENTO	49
CAPITULO IV: EXPERIMENTO Y RESULTADOS	51
4.1 EXPERIMENTO	52
4.2 DISCUSION	55
4.3 CONCLUSIONES	62
APENDICES	64
BIBLIOGRAFIA	92

RESUMEN.

Una aleación a base de níquel, Nimonic 80A, fue sometida a un proceso de termofluencia y llevado a la fractura con el fin de generar cavidades para su posterior estudio con neutrones. Se usó un difractómetro de doble cristal de alta resolución angular, utilizando la técnica de dispersión a ángulos muy pequeños para neutrones (VSANS). Se diseñó un programa de cómputo que, junto con otros ya existentes, permitieron calcular el radio promedio de las cavidades en una zona cercana a la fractura, así como la distribución de tamaños de las cavidades, que se esperaría observar en dicha muestra (\approx función Log-Normal). Este trabajo es comparado con la técnica de dispersión a ángulos pequeños convencional para neutrones (SANS) obteniéndose valores aproximados, para el radio promedio de las cavidades, de una micra.

La técnica VSANS no emplea la aproximación de Born que se emplea en SANS ya que las cavidades del orden de $1\mu\text{m}$ son "grandes" de tal forma que el cambio de fase no puede ser despreciado. Sin embargo, con propósitos de comparación la técnica SANS puede ser considerada válida aún en este rango.

El objetivo de este trabajo consiste en introducir una técnica que permita calcular cavidades grandes con una mejor aproximación a la esperada por la técnica convencional SANS. Se elaboró, como parte de los objetivos, un programa de cómputo que permite evaluar la sección eficaz diferencial.

INTRODUCCION.

La técnica de dispersión denominada "Small Ange Neutron Scattering" (SANS) debe su nombre a la dispersión a ángulos pequeños o bien a pequeños valores del vector de dispersión $Q=k-k_0$ (donde k_0 y k son los vectores de onda de la radiación incidente y dispersada respectivamente) del orden Q entre 0.05 y 5 nm⁻¹ (cavides del orden aprox. 0.01 μ m) [Marton Ladislau, 1959]. SANS es una técnica que se inició en los 70s y ha sido ampliamente empleada para estudiar defectos en sólidos, soluciones coloidales, polímeros y biología molecular.

En el presente trabajo propongo una variante de la técnica SANS, y que llamaremos "Very Small Ange Neutron Scattering", o VSANS, empleada por primera vez por Weiss en 1951 [Weiss, 1951], en un rango Q entre 3×10^{-4} y 22×10^{-4} nm⁻¹ [Schwahn y Palacios, s.f], donde no considerara la aproximación de Born para la sección eficaz diferencial; que está implícita en el método SANS. Como objetivo, intento obtener una mejor información que la técnica convencional SANS utilizando nuevos criterios, como es el caso de suponer una distribución de tamaños de cavidades en una muestra, y dados ciertos parámetros, encontrar el radio promedio de las cavidades. Se elaboro, como parte de los objetivos, un programa de cómputo que permite evaluar la sección eficaz diferencial.

Para este propósito he dividido el trabajo en cuatro capítulos. En el capítulo I, dado que se está analizando el caso de dispersión por cavidades, se presenta información referente a los dos principales mecanismos que dan lugar a la nucleación de

cavidades; se justifica la distribución de cavidades que se sugiere para VSANS y que se encuentra en una muestra sometida a termofluencia; además se señalan algunas de las características importantes de la aleación NIMONIC 80A, muestra a base de níquel que ha sido empleada para el presente estudio.

El capítulo II presenta el formalismo matemático que define la sección eficaz diferencial en la teoría cuántica. Además, he incluido dos subtemas que describen la técnica convencional SANS, y otro sobre la técnica que he denominado VSANS.

El capítulo III muestra el dispositivo experimental empleado.

Finalmente, en el capítulo IV se presentan los resultados experimentales, la discusión y los resultados obtenidos.

CAPITULO I

EVOLUCION DE CAVIDADES EN LOS MECANISMOS DE FRACTURA Y LA ALEACION NIMONIC 80A

INTRODUCCION

Es conveniente, ya que el trabajo de investigación analiza la dispersión por cavidades, esbozar los dos principales mecanismos que dan origen a la fractura en sólidos debido a la nucleación, crecimiento y conglutinación de microcavidades o grietas. El presente capítulo no pretende investigar a partir de los resultados obtenidos (capítulo IV), qué tipo de ellos intervienen en las muestras, o confirmar algunos de ellos. Sencillamente, se hace referencia a los resultados que otros autores han observado en sus investigaciones sobre la aleación NIMONIC 80A (que es la que se emplea en esta investigación) en lo referente al tipo de fractura que presenta esta aleación. Además, discutiremos el tipo de distribución y tamaño de cavidades de que hasta el momento se tiene conocimiento y que se encuentran en una muestra que fue llevada a la fractura.

1.1 CAVITACION.

Dentro de los mecanismos de fractura [M. F. Ashby, et. al, 1979] (Fig. 1.1.1), resaltan por dar origen a la evolución de cavidades,

las fracturas intergranular y transgranular. La fractura, generalmente dúctil para la nucleación de cavidades, usualmente sigue un camino transgranular, pero si la densidad de inclusiones o de agujeros preexistentes es alta en el límite del grano, entonces la trayectoria puede seguir la frontera dando lugar a una fractura intergranular dúctil como se verá a continuación. Además, las fracturas transgranular e intergranular dúctil a altas temperaturas (termofluencia), son aproximadamente las mismas que las fracturas transgranular e intergranular dúctil a baja temperatura.

DISTINTAS CLASES DE MECANISMOS DE FRACTURA

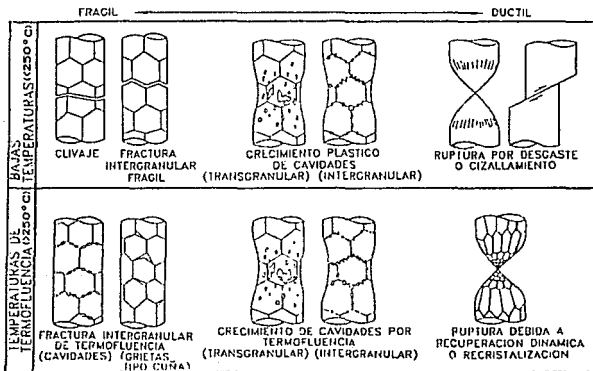


FIG. 1.1.1.- CLASIFICACION DE LOS MECANISMOS DE FRACTURA. LA HILERA SUPERIOR SE REFIERE A BAJAS TEMPERATURAS (<250 °C) DONDE LA FLUENCIA PLASTICA NO DEPENDE MUCHO DE LA TEMPERATURA O DEL TIEMPO; LA HILERA INFERIOR SE REFIERE AL RANGO DE TEMPERATURA (>250 °C) EN QUE LOS MATERIALES ESTAN EN TERMOFLUENCIA. FUENTE: M. F. ASHBY, et al., 1979.

FRACTURA TRANSGRANULAR:

Cuando no hay clivaje (separación del cristal sobre un plano cristalográfico), los sólidos policristalinos pueden fallar en forma dúctil por un camino transgranular. Los huecos nuclean en inclusiones: la inclusión perturba el campo de desplazamiento elástico y plástico en un cuerpo deformado; la perturbación concentra la tensión de la inclusión causando un rompimiento en la interface de la matriz, de este modo se nuclean los huecos; además la plasticidad hace que ellos crezcan, y cuando son lo bastante grandes o cuando el espécimen mismo llega a ser mecánicamente inestable, se unen y el material, en consecuencia, fractura, (figura 1.1.2).

FRACTURA TRANSGRANULAR DUCTIL

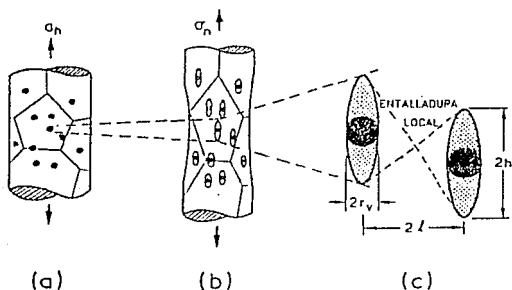


FIG. 1.1.2. (a) LA FRACTURA TRANSGRANULAR DUCTIL REQUIERE QUE LAS CAVIDADES PREENISTAN O QUE ELLAS NUCLEEN EN INCLUSIONES CON TENSIONES CONCENTRADAS; (b). - LAS CAVIDADES SE ELONGAN AL EXTENDERSE EL ESPECIMEN; (c). - ELLAS SE ENLAZAN CAUSANDO FRACTURA CUANDO SU LONGITUD ES TAL QUE CAUSA SU SEPARACION. FUENTE: M. F. ASHBY et. al. 1979.

FRACTURA INTERGRANULAR:

A bajas tensiones y a grandes tiempos de fractura, se observan transiciones de fractura transgranular a intergranular. Dentro de este nuevo régimen, la frontera del grano se desliza, dando origen a grietas cuñadas o crecimiento de huecos en la frontera, aproximadamente al eje tensil (figura 1.1.3). Una vez que se ha producido una grieta, la concentración de esfuerzos en los extremos de la grieta genera la deformación plástica de estas regiones en bandas de cizallamiento¹. Debido a que la deformación dentro de las bandas es muy intensa, éstas se llenan de orquedades². Según crecen las orquedades en estas bandas (capas de orquedades), golpean eventualmente unas con otras, de tal forma que se forman nuevas bandas de cizallamiento; la repetición de este proceso actúa para extender la grieta a través de la sección transversal de la probeta, en donde la banda de cizallamiento regresa a la región de máxima concentración de esfuerzos, en un metal dúctil; la fractura final puede ocurrir por varios caminos, uno produce una copa y cono y otro una doble copa.

1.2 NIMONIC 80A.

Las aleaciones a base de níquel han sido y están siendo ampliamente estudiadas. Son frecuentemente usadas en componentes que operan a altas temperaturas y tensiones muy severas (tales como las aspas de turbinas de gas). En particular, la aleación NIMONIC 80A, cuya composición química aparece en la Tabla 1.2.1, es el objeto de estudio en el presente trabajo.

1. - Cizallamiento: desgaste o formación de zonas concentradas de esfuerzo cortante.

2. - Aglutinamiento de agujeros.

FRACTURA INTERGRANULAR

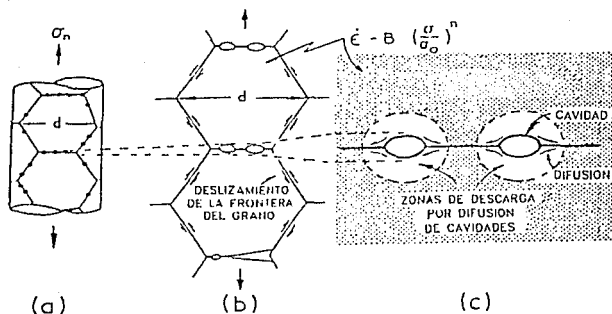


FIG. 1.1.3.- (a).- EL DESPLAZAMIENTO DE LA FRONTERA DEL GRANO ESTIMULA LA NUCLEACION; CAVIDADES; (b).- FRONTERA DE LAS CAVIDADES; (c).- LOS HUECOS CRECEN POR DIFUSION. FUENTE: M.F. ASHBY, et. al, 1979.

TABLA 1.2.1.- COMPOSICION QUIMICA DE LA ALEACION NIMONIC 80A³.

C %	SI %	Mn %	Cr %	Fe %	Ti %	Al %	Ni %
0.045	<0.02	<0.02	20.2	0.45	2.44	1.12	75.59

FUENTE: RÖCHLING-BURBACH, VÖLKLINGEN (DATOS DEL FABRICANTE).

3.- La aleación NIMONIC 80A presenta típicamente estos elementos; sin embargo, pueden tener una ligera variación en lo referente al porcentaje. Véase, p. e. D. McLEAN, Op. Cit, 1956.

Algunas investigaciones de fractura en termofluencia de la aleación NIMONIC 80A [ASHBY et. al, 1979] revelan lo siguiente. En el rango de temperatura de 600 a 900 °C y a altas tensiones, la fractura es transgranular. Cuando la tensión es reducida el material muestra grietas cuñadas y la fractura llega a ser cada vez más intergranular. Debajo de 240 MPa, el modo de fractura cambia de grietas cuñadas a cavidades (que aparecen al nuclear sobre partículas de carburo) y la fractura es completamente intergranular. Predeformado a temperatura ambiente reduce el tiempo de vida de termofluencia y estimula la ruptura por prenucleación de huecos sobre las fronteras del grano. Mas explícitamente D. McLean [A note on the metallography of cracking during creep, 1956] obtuvo algunos resultados importantes que revelan el tipo de fractura que predomina dadas ciertas condiciones de presión y temperatura en la aleación NIMONIC 80A, Tabla 1.2.2. Estos fueron utilizados para la elaboración de los mapas de fractura [ASHBY et. al., 1979] que muestran el dominio del campo de un micromecanismo dado de fractura, clivaje, ductilidad y fracturas transgranular e intergranular. Uno conocido con el nombre de mapas de fractura de primer orden, con ejes del mapa tensión y temperatura (Fig. 1.2.1). Un segundo conocido como mapas de fractura de segundo orden con ejes tensión y tiempo (este último no se muestra).

Finalmente mostramos en la figura 1.2.2 otros resultados obtenidos por C.W. Weaver [Influence of Heat-Treatment and Composition..., 1959] sobre la dependencia de la temperatura en termofluencia sobre la formación de cavidades en aleaciones tipo NIMONIC 80 A. En ellas se exhiben claramente los dos tipos de formación de cavidades transgranular e intergranular.

TABLA 1.2.2- ALGUNOS DATOS EXPERIMENTALES RELATIVOS A LA ALEACION NIMONIC 80A REALIZADOS EN ESTUDIOS DE CAVITACION

Marca	Temp. en °C	Tensión MP (N/m ²)	Tiempo de Fractura hr.	Elongación sobre 5.08 cm	Tipo predominante de Cavidad*	Tipo de Fractura*
SMW 8C2	700	532	19½	3½%	a	Princip. lg
" 5C2	700	425.6	161½	4½%	a + b	lg+lg
" 6C3	700	804	1217	1½%	b + a	lg+lg
" 1C2	700	228	4584	2 %	b + a	lg+lg
" 8C3	750	965	29½	6½%	a + b	lg
" 6C2	750	904	99½	6 %	a + b	lg+lg
" 11C3	750	152	3110	2 %	b	lg+lg
" 12C2	815	228	26½	4½% sobre \sqrt{A}	a + b	lg+lg
" 9C2	815	61	4275	11% sobre \sqrt{A}	b	lg+lg
" 17C1	1000	30.4	22½	85% sobre 4.2 cm	Inclier-lo	Inclier-lo
" 16C2	1000	15.2	199	51% sobre \sqrt{A}	b	-

* EL TIPO a SON CAVIDADES EN FORMA DE CUÑA LOCALIZADO EN UNA ESQUINA DEL GRANO. EL TIPO b SON CAVIDADES AISLADAS QUE OCURREN EN CUALQUIER PARTE A LO LARGO DE LA FRONTERA DEL GRANO.

+lg=FRACTURA INTERGRANULAR; lg=FRACTURA TRANSGRANULAR. FUENTE: D. MCLEAN, 1956.

MAPA DE FRACTURA DE PRIMER ORDEN

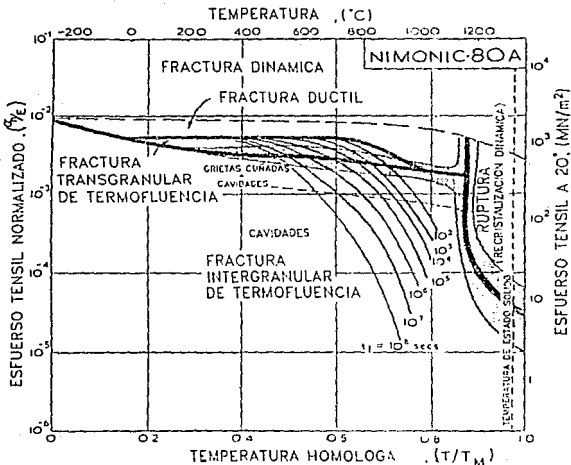


FIG. 1.2.1. - MAPA DE FRACTURA DE PRIMER ORDEN PARA EL NIMONIC 80A. SE MUESTRAN ALCUNAS DE LAS FALLAS DEBIDAS A LOS ALTOS NIVELES DE TENSION EN UN CAMPO GRANDE DE FRACTURA INTERGRANULAR Y RUPTURA. EL CAMPO DE FRACTURA INTERGRANULAR DE TERMOFLUENCIA ESTA DIVIDIDO EN SUBDIVISIONES DEL EJE DE AGRIETAMIENTO Y LA CAVITACION. FUENTE: M. F. ASHBY, et. al, 1979.

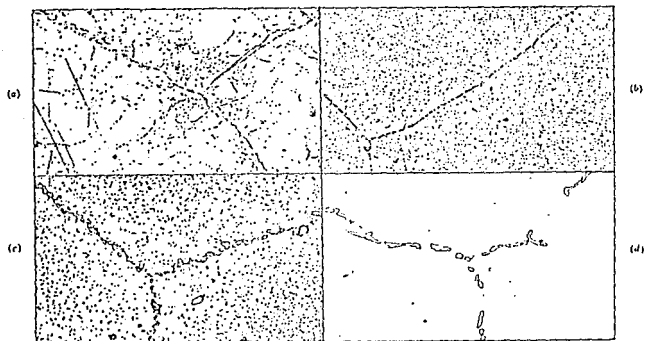


FIG. 1.2.2 INFLUENCIA DE LA TEMPERATURA SOBRE MICROESTRUCTURAS. MUESTRAS A 1200°C, Y TEMPLADAS EN AGUA: (a) 850, (b) 900, (c) 950, (d) 1000 °C. x 750. FUENTE: C. W. WEAVER, 1960.

1.3 DISTRIBUCION LOG-NORMAL.

El tipo de distribución de tamaños de cavidades, que se observan, en los mecanismos de fractura intergranular y transgranular, según algunos autores [I. W. Chen y A. Argon, 1981], se asemeja a una distribución de Poisson (para una muestra de acero forjado 304). Sin embargo, apoyándonos en trabajos realizados por M. S. YANG, et.al., [Small Angle Neutron Scattering Studies..., 1984], referentes a la distribución a que obedecen las cavidades en una muestra de cobre sometida a un proceso de

termofluencia⁴, Fig. 1.3.1 (donde he añadido a esta figura el comportamiento de la distribución Log-Normal para distintos parámetros). Sugiero la distribución Log-Normal⁵, Ec. 1.3.1.

$$n(R) = \frac{np}{R\sqrt{2\pi}\sigma} e^{-\ln^2(\bar{R}/R)/2\sigma^2} \quad 1.3.1$$

Hasta este momento no es sabido de que se haya estudiado metalográficamente la distribución de tamaños de cavidades en el NIMONIC 80A, así que supondre que dicha distribución simula la distribución de cavidades en la aleación NIMONIC 80A. Nuevamente, no se pretendemos investigar a partir de los resultados (capítulo IV) si efectivamente esta distribución interviene en las muestras. Solamente se hace referencia a los resultados que otros autores han observado en sus investigaciones sobre otras aleaciones y justificar, así, el uso de esta distribución.

4.-YANG utilizo el metodo de Schmidt (FERDOVA. I. S., 1978) para obtener la distribución de tamaños de las cavidades, N(R) v. s. R.

5.- Esta ecuación es fácilmente derivable de la distribución normal estándar; véase apéndice D.

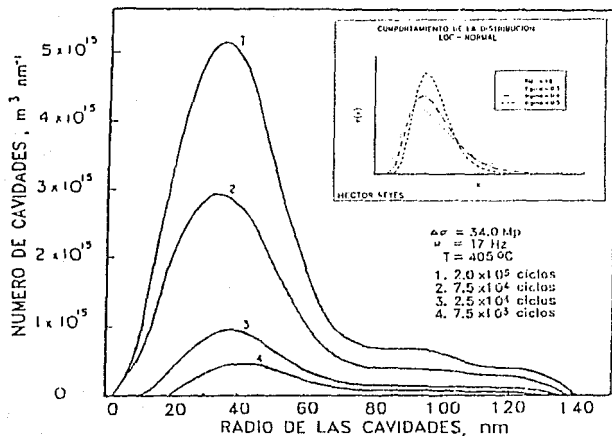


FIG. 1.3.1. - DISTRIBUCION DE CAVIDADES $N(R)$ VS R EN Cu PREFATIGADO SOMETIDO A TENSIONES DE DESLIZAMIENTO DE 34.0 MPa , $T = 405 \text{ }^\circ\text{C}$ Y SOMETIDO A CICLOS DE 17 Hz , OBTENIDOS POR M. S. YANG. LAS CURVAS ENCERRADAS EN EL RECUADRO, AÑADIDO POR MI, MUESTRA LA EVOLUCION DE LA FUNCION DE DISTRIBUCION LOG-NORMAL, QUE SEGUN PUEDE VERSE, SE ASEMEJA EN FORMA CUALITATIVA A LOS OBTENIDOS POR YANG. FUENTE: M. S. YANG, et. al., 1984.

CAPITULO II

DISPERSION POR CAVIDADES.

INTRODUCCION

Para el estudio de cavidades hare uso de la llamada técnica "Small Angle Neutron Scattering" (SANS) y la técnica que llamaremos "Very Small Angle Neutron Scattering" (VSANS), que propongo, lo que hace necesario mostrar sus principales relaciones matemáticas que permiten obtener información sobre el tamaño de las cavidades, forma y número de dispersores dentro de una muestra. Para ello, primeramente mostramos el formalismo que permite obtener de la mecánica cuántica la sección eficaz diferencial.

2.1 SECCION EFICAZ DIFERENCIAL.

Un método de exploración de que se dispone para investigar la estructura de la materia consiste en el bombardeo de "partículas proyectil" a "partículas blancos" y el subsecuente análisis de los resultados de la interacción ocurrida bajo circunstancias controladas. El problema que plantea el choque, como cualquier problema de dos cuerpos, en términos cuánticos, puede reducirse al análisis de la dispersión de una partícula por un potencial $V(r)$. Si la partícula blanco es mucho más masiva que la partícula proyectil las coordenadas relativas y la coordenada al centro de masa casi coinciden. Consideremos que el choque entre partículas

es elástico.

Calculemos la probabilidad de que, como resultado de la colisión, las partículas se dispersen formando tal o cual ángulo.

Representamos una partícula libre (partícula proyectil), que se mueve en sentido positivo del eje z por una onda plana, incidiendo hacia la partícula blanco, que escribiremos en la forma

$$\psi_{inc} = e^{ikz} \quad 2.1.1$$

donde $k = P/\hbar$

La partícula dispersada puede representarse por una onda esférica divergente de la forma

$$\psi_{sc} = f(\theta) \frac{e^{ikr}}{r} \quad 2.1.2$$

donde $f(\theta)$ es una cierta función del ángulo de dispersión θ (ángulo formado por el eje z y la dirección de la partícula dispersada); esta función es conocida como Amplitud de Dispersión (es la amplitud de probabilidad de que la partícula incidente emerja a lo largo de la dirección \hat{e} , como resultado de la colisión). De esta manera, la función de onda (que es solución de la ecuación de Schrödinger independiente del tiempo) tiene a grandes distancias, cuando r tiende a infinito, el comportamiento asintótico, Fig. 2.1.1.a.

$$\psi_{TOTAL} \approx e^{ikz} + f(\theta) e^{ikr}/r \quad 2.1.3$$

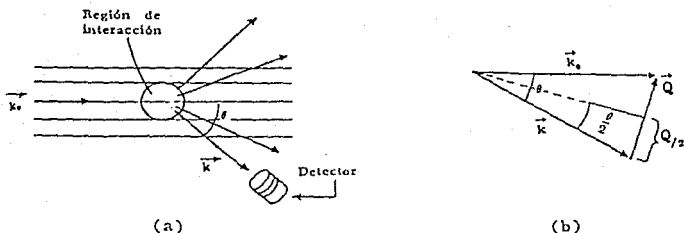


FIG 2.1.1. (a). - ONDAS INCIDENTE Y DISPERSADA. EC. 2.1.3; b). - EL VECTOR \vec{Q} REPRESENTA EL IMPULSO PROMEDIO INTERCAMBIADO ENTRE EL BLANCO Y EL PROYECTIL CUANDO LAS PARTICULAS SON DISPERSADA EN LA DIRECCION \hat{e}_r .

En esta expresión, el parámetro k en onda plana es la magnitud del impulso k_0 de las partículas incidentes ($k_0 = \hat{e}_1 k$); la k en la componente dispersada (onda esférica) es la magnitud del impulso k de las partículas dispersadas; el que, para distancias muy grandes del blanco, está orientado esencialmente en la dirección $\hat{e}_r = \vec{r}/r$. Como se ha supuesto que la dispersión es elástica, ambas magnitudes coinciden, $|k_i| = |k_f| = k$. Sin embargo, como estos vectores son diferentes, resulta que el blanco intercambia con el proyectil un impulso medio Q tal que

$$k_0 = k + Q$$

2.1.4

La magnitud Q del impulso transferido se determina fácilmente. En la figura 2.1.1.b, en donde θ es el ángulo de dispersión puede verse que

$$Q = 2k \text{sen}(\theta/2)$$

2.1.5

Q es conocido como el vector de dispersión.

Para encontrar la probabilidad $d\sigma$ relativa de que la partícula emerja en un ángulo sólido $d\Omega$, consideremos, por definición, el flujo de probabilidad⁶ (o densidad de corriente):

$$\mathbb{J} = \frac{\hbar}{2mi} (\psi^* \nabla \psi - \psi \nabla \psi^*) \quad 2.1.6$$

así, el flujo de probabilidad de la onda incidente es:

$$\begin{aligned} \mathbb{J}_{inc} &= \frac{\hbar}{2mi} \left[e^{-ikz} (ik e^{ikz}) - e^{ikz} (-ik e^{-ikz}) \right] \\ &= \frac{\hbar k}{m} \end{aligned} \quad 2.1.7$$

y dado que $k = p/\hbar \Rightarrow \hbar k = p$

$$\therefore \mathbb{J}_{inc} = \frac{p}{m} \quad 2.1.8$$

ya que la onda dispersada es una onda esférica, calculemos su flujo en coordenadas esféricas⁷. De la Ec. 2.1.2 puede demostrarse que el flujo dispersado es:

$$\mathbb{J}_{sc} = \frac{\hbar}{2mi} \left[(\hat{e}_r |f(\theta)|^2 \left(\frac{ikr-1}{r^2} \right) + \hat{e}_\theta \frac{1}{r} f^*(\theta) \frac{\partial f(\theta)}{\partial \theta} + 0 \hat{e}_\phi \right]$$

6. - Véase, B. H. Bransden and W.A. Benjamin, s.f. p. 4

7. - $\nabla \psi = \left[\hat{e}_r \frac{\partial}{\partial r} + \hat{e}_\theta \frac{1}{r} \frac{\partial}{\partial \theta} + \frac{1}{r \text{sen}(\theta)} \hat{e}_\phi \frac{\partial}{\partial \phi} \right] \psi$ en coordenadas esféricas. Véase Robert Eisberg y Robert Resnick, 1986, pag., 907.

$$\begin{aligned}
 & -(\hat{e}_r |f(\theta)|^2 \left(\frac{-ikr-1}{r}\right) + \hat{e}_\theta \frac{1}{r} f(\theta) \frac{\partial f^*(\theta)}{\partial \theta} + 0\hat{e}_\phi) \\
 & = \frac{\hbar}{2mi} \left[(|f(\theta)|^2 \frac{2ik}{r^2}) \hat{e}_r + \frac{1}{r} (f^*(\theta) \frac{\partial f(\theta)}{\partial \theta} - f(\theta) \frac{\partial f^*(\theta)}{\partial \theta}) \hat{e}_\theta + 0\hat{e}_\phi \right]
 \end{aligned}$$

pero, para r grande podemos despreciar el término $1/r^2$, por lo que

$$J_{sc} = \frac{\hbar}{2mi} \left[|f(\theta)|^2 \frac{2ik}{r^2} \right] \hat{e}_r = \frac{|f(\theta)|^2}{r^2} \frac{\hbar k}{m} \hat{e}_r$$

$$\therefore J_{sc} = \frac{|f(\theta)|^2}{r^2} \frac{\hbar k}{m} \hat{e}_r \quad 2.1.9$$

Pero, la probabilidad por segundo de que la partícula atraviese el elemento de superficie ds después de la colisión es $J_{sc} \cdot ds$. Si ds se encuentra a una distancia r del origen, entonces

$$J_{sc} \cdot ds = \frac{\hbar k}{m} |f(\theta)|^2 \frac{\hat{e}_r \cdot ds}{r^2} = \frac{\hbar k}{m} |f(\theta)|^2 d\Omega \quad 2.1.10$$

ya que $\hat{e}_r \cdot ds = r^2 d\Omega$, donde $d\Omega$ es el ángulo sólido subtendido en el origen por ds . Finalmente, la probabilidad $d\sigma$ relativa de que la partícula emerja en el ángulo sólido $d\Omega$ será

$$d\sigma = \frac{J_{sc} \cdot ds}{|J_{inc}|} = \frac{\frac{\hbar k}{m} |f(\theta)|^2 d\Omega}{\frac{\hbar k}{m}} = |f(\theta)|^2 d\Omega \quad 2.1.11$$

La cantidad $d\sigma$ tiene dimensiones de área y es conocida como Sección Eficaz Diferencial para la dispersión en el elemento de ángulo sólido $d\Omega$ en \hat{e}_r . La cantidad $|f(\theta)|^2$, simbólicamente se puede escribir como $d\sigma/d\Omega$:

$$d\sigma/d\Omega = |f(\theta)|^2$$

2.1.12

$d\sigma$ es el área efectiva transversal en la región de interacción que intercepta el flujo de probabilidad de la onda incidente y la transfiere al ángulo sólido $d\Omega$, figura 2.1.2.

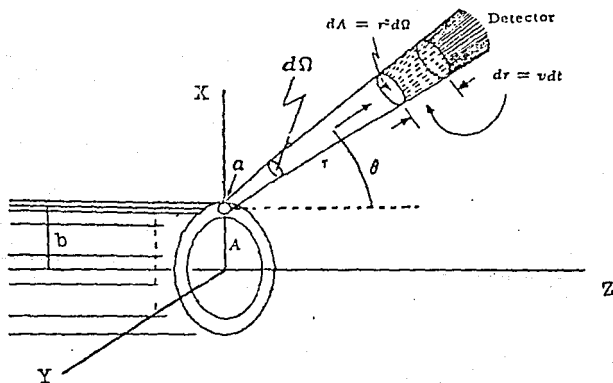


FIG. 2.1.2 LA FRACCIÓN $d\sigma$ DE LAS PARTICULAS QUE INCIDEN SOBRE EL BLANCO DE ÁREA A SON DISPERSADAS SOBRE EL DETECTOR. ALTERNATIVAMENTE, TODAS LAS PARTICULAS QUE INCIDEN SOBRE EL ÁREA EFECTIVA σ DEL BLANCO SON DISPERSADAS SOBRE EL DETECTOR. EN ESTE CASO $\sigma = d\sigma$ REPRESENTA LA SECCIÓN EFICAZ DE DISPERSIÓN EN LA DIRECCIÓN DEL DETECTOR.

Lo que sigue es, entonces, proporcionar un método para calcular amplitudes de dispersión, pero restringiendo la atención a potenciales esféricamente simétricos y considerando estados de momento angular definidos l .

Como primer paso expresemos la onda plana incidente (partícula libre) en términos de armónicos esféricos⁹.

Si uno escoge el eje z a lo largo de k , esta onda (Ec. 2.1.1) puede ser escrita de la forma $e^{i(kr \cos \theta)}$; que es independiente de ϕ . Haciendo los siguientes cambios de variable: $\rho = kr$, $\mu = \cos \theta$, la expresión de la onda plana se reduce a una expresión en una serie de polinomios de Legendre⁹

$$e^{i\rho\mu} = \sum_{l=0}^{\infty} C_l j_l(\rho) P_l(\mu) \quad 2.1.13$$

donde $j_l(\rho)$ es la función de Bessel esférica y es solución de la ecuación radial de la ecuación de Schrödinger para un potencial¹⁰

8. - Todas las eigenfunciones de energía de la partícula libre están infinitamente degeneradas. Dado que las ondas esféricas $Y_l^m(\theta, \phi) j_k(kr)$ forman un conjunto completo, el conjunto enteramente numerable de ondas esféricas correspondientes a un valor dado de la onda número k , atraviesan el espacio de las eigenfunciones de energía $E = k^2 \hbar^2 / 2m$; por lo tanto, la onda plana e^{ikz} puede ser expandida en series de esas funciones como:

$$e^{ikz} = \sum_{l=0}^{\infty} \sum_{m=-l}^{+l} a_{lm} Y_l^m(\theta, \phi) j_{kl}(r)$$

donde $Y_l^m(\theta, \phi) = \mathcal{P}(\phi) \mathcal{Q}(\theta) = C_{l,m} e^{im\phi} P_l^m(\cos \theta)$. Véase apéndice C.

9. - Véase apéndice C.

10. - Véase apéndice C.

$V(r)=0$ y cuya solución asintótica es

$$j_l \approx a_l \frac{\text{sen}(kr - \frac{1}{2}l\pi)}{kr} \quad 2.1.14$$

y $P_l(\mu)$ son los polinomios de Legendre (solución de la parte angular de la ecuación de Schrödinger).

Para determinar el coeficiente C_l , uno puede proceder como sigue: diferenciando las series 2.1.13, término por término con respecto a ρ , obtendremos que

$$\frac{d}{d\rho} e^{i\rho\mu} = \frac{d}{d\rho} \sum_{l=0}^{\infty} C_l j_l(\rho) P_l(\mu)$$

$$\Rightarrow i\mu e^{i\rho\mu} = \sum_{l=0}^{\infty} C_l \frac{d}{d\rho} (j_l(\rho)) P_l(\mu) \quad 2.1.15.a$$

$$= i \sum_{l=0}^{\infty} C_l j_l(\rho) \mu P_l(\mu) \quad 2.1.15.b$$

tomando en cuenta la relación de recurrencia (apéndice C) de los polinomios de Legendre con $m=0$

$$(2l+1)\mu P_l = (l+1)P_{l+1} + lP_{l-1} \quad C.30$$

así que

$$\mu P_l = \frac{(l+1)P_{l+1} + lP_{l-1}}{(2l+1)}$$

$$= \frac{(l+1)}{(2l+1)} P_{l+1} + \frac{l}{(2l+1)} P_{l-1}$$

por lo que 2.1.15b se transforma en

$$i\mu e^{i\rho\mu} = i \underbrace{\sum_{l=0}^{\infty} C_l J_l(\rho) \left[\frac{l+1}{2l+1} \right] P_{l+1}}_a + i \underbrace{\sum_{l=0}^{\infty} C_l J_l(\rho) \left[\frac{l}{2l+1} \right] P_{l-1}}_b$$

donde

$$a = i \sum_{l=0}^{\infty} C_l J_l(\rho) \left[\frac{l+1}{2l+1} \right] P_{l+1}$$

sea $l=l'-1$

$$\begin{aligned} \rightarrow a &= i \sum_{l'=1}^{\infty} C_{l'-1} J_{l'-1}(\rho) \left[\frac{(l'-1)+1}{2(l'-1)+1} \right] P_{(l'-1)+1} \\ &= i \sum_{l'=1}^{\infty} C_{l'-1} J_{l'-1}(\rho) \left[\frac{l'}{2l'-1} \right] P_{l'} \\ &= i \sum_{l=0}^{\infty} C_{l-1} J_{l-1}(\rho) \left[\frac{l}{2l-1} \right] P_l \end{aligned}$$

$$b = i \sum_{l=0}^{\infty} C_l J_l(\rho) + \left[\frac{l}{2l+1} \right] P_{l-1}$$

sea $l=l'+1$

$$\begin{aligned} \rightarrow b &= i \sum_{l'=-1}^{\infty} C_{l'+1} J_{l'+1}(\rho) \left[\frac{l'+1}{2(l'+1)+1} \right] P_{(l'+1)-1} \\ &= i \sum_{l'=-1}^{\infty} C_{l'+1} J_{l'+1}(\rho) \left[\frac{l'+1}{2l'+3} \right] P_{l'} \\ &= i \sum_{l=0}^{\infty} C_{l+1} J_{l+1}(\rho) \left[\frac{l+1}{2l+3} \right] P_l \end{aligned}$$

donde para a el coeficiente se hace cero en $l=0$ y no contribuye a la suma y en b para $l=-1$ nuevamente se hace cero y no contribuye a la suma. Por lo tanto,

$$i\mu e^{i\rho\mu} = i \sum_{l=0}^{\infty} \left[C_{l-1} J_{l-1}(\rho) \left(\frac{l}{2l-1} \right) P_l + C_{l+1} J_{l+1}(\rho) \left(\frac{l+1}{2l+3} \right) P_l \right] \quad 2.1.18$$

nuevamente, tomando en cuenta la relación de recurrencia, Ec. C.46 y C.47, apéndice C, tenemos:

$$(2l+1)J_l = \rho [J_{l+1} + J_{l-1}] \quad C.46$$

$$J_{l-1} = \left(\frac{d}{d\rho} \frac{l+1}{\rho} \right) J_l \quad C.47$$

de C.47

$$\frac{d}{d\rho} J_l = J_{l-1} - \frac{l+1}{\rho} J_l$$

sustituyendo C.46 en la ecuación anterior se tiene

$$\begin{aligned} \frac{d}{d\rho} J_l &= J_{l-1} - \frac{l+1}{\rho} \left[\frac{\rho}{(2l+1)} [J_{l+1} + J_{l-1}] \right] \\ &= \frac{l}{2l+1} J_{l-1} - \frac{l+1}{2l+1} J_{l+1} \end{aligned}$$

sustituyendo en 2.1.15a, e igualando con 2.1.16 (2.1.15b), tenemos

$$\sum_{l=0}^{\infty} C_l \left[\frac{l}{2l+1} J_{l-1} - \frac{l+1}{2l+1} J_{l+1} \right] P_l = \sum_{l=0}^{\infty} \left[C_{l-1} J_{l-1} \left[\frac{l}{2l-1} \right] P_l + C_{l+1} J_{l+1} \left[\frac{l+1}{2l+3} \right] P_l \right]$$

$$\rightarrow \left[\frac{l}{2l+1} C_l - \frac{l+1}{2l+1} C_{l+1} \right] J_{l-1} = \left[\frac{l+1}{2l+1} C_l + \frac{l+1}{2l+3} C_{l+1} \right] J_{l+1}$$

$$\rightarrow l \left[\frac{1}{2l+1} C_l - \frac{1}{2l-1} C_{l-1} \right] J_{l-1} = (l+1) \left[\frac{1}{2l+1} C_l + \frac{1}{2l+3} C_{l+1} \right] J_{l+1}$$

Para que pueda satisfacerse esta ecuación para cualquier ρ , es necesario y suficiente que las expresiones entre paréntesis desaparezcan o que:

$$\frac{1}{2l+1} C_l = \frac{1}{2l+1} C_{l-1} \quad \text{con} \quad l=0, 1, 2, 3, \dots, \infty \quad 2.1.17$$

$$\begin{aligned} \rightarrow C_l &= \frac{2l+1}{2l-1} C_{l-1} \\ &= \frac{2l+1}{2l-1} \cdot \frac{2(l-1)+1}{2(l-1)-1} C_{l-2} \\ &= \frac{2l+1}{2l-1} \cdot \frac{2(l-1)+1}{2(l-1)-1} \cdot \frac{2(l-2)+1}{2(l-2)-1} C_{l-3} \\ &= \frac{2l+1}{2l-1} \cdot \frac{2(l-1)+1}{2(l-1)-1} \cdot \frac{2(l-2)+1}{2(l-2)-1} \dots \frac{2(l-\{l-1\})+1}{2(l-\{l-1\})-1} C_0 \\ &= \frac{2l+1}{2l-1} \cdot \frac{2l-1}{2l-3} \cdot \frac{2l-3}{2l-5} \dots \frac{5}{3} \cdot \frac{3}{1} C_0 \end{aligned}$$

$$\therefore C_l = l!(2l+1)C_0 \quad 2.1.18$$

El coeficiente C_0 es igual a 1, Ec. 2.1.13 para $\rho=0$; dado

sustituyendo en 2.1.15a, e igualando con 2.1.16 (2.1.15b), tenemos

$$\sum_{l=0}^{\infty} C_l \left(\frac{l}{2l+1} J_{l-1} - \frac{l+1}{2l+1} J_{l+1} \right) P_l = i \sum_{l=0}^{\infty} \left[C_{l-1} J_{l-1} \left(\frac{l}{2l-1} \right) P_l + C_{l+1} J_{l+1} \left(\frac{l+1}{2l+3} \right) P_l \right]$$

$$\rightarrow \left(\frac{l}{2l+1} C_l - i \frac{l}{2l-1} C_{l-1} \right) J_{l-1} = \left(\frac{l+1}{2l+1} C_l + i \frac{l+1}{2l+3} C_{l+1} \right) J_{l+1}$$

$$\rightarrow l \left(\frac{1}{2l+1} C_l - i \frac{1}{2l-1} C_{l-1} \right) J_{l-1} = (l+1) \left(\frac{1}{2l+1} C_l + i \frac{1}{2l+3} C_{l+1} \right) J_{l+1}$$

Para que pueda satisfacerse esta ecuación para cualquier ρ , es necesario y suficiente que las expresiones entre paréntesis desaparezcan o que:

$$\frac{1}{2l+1} C_l = i \frac{1}{2l-1} C_{l-1} \quad \text{con} \quad l=0, 1, 2, 3, \dots, \infty \quad 2.1.17$$

$$\begin{aligned} \rightarrow C_l &= i \frac{2l+1}{2l-1} C_{l-1} \\ &= i \frac{2l+1}{2l-1} \cdot i \frac{2(l-1)+1}{2(l-1)-1} C_{l-2} \\ &= i \frac{2l+1}{2l-1} \cdot i \frac{2(l-1)+1}{2(l-1)-1} \cdot i \frac{2(l-2)+1}{2(l-2)-1} C_{l-3} \\ &= i \frac{2l+1}{2l-1} \cdot i \frac{2(l-1)+1}{2(l-1)-1} \cdot i \frac{2(l-2)+1}{2(l-2)-1} \dots \cdot i \frac{2(l-(l-1))+1}{2(l-(l-1))-1} C_0 \\ &= i \frac{2l+1}{2l-1} \cdot i \frac{2l-1}{2l-3} \cdot i \frac{2l-3}{2l-5} \dots \cdot i \frac{5}{3} \cdot i \frac{3}{1} C_0 \end{aligned}$$

$$\therefore C_l = i^l (2l+1) C_0 \quad 2.1.18$$

El coeficiente C_0 es igual a 1, Ec. 2.1.13 para $\rho=0$; dado

$$j_l(0) = \delta_{l,0} \quad C_0 = 1.$$

Concluyendo, la expansión de la onda plana puede ser escrita como

$$e^{i\rho\mu} = \sum_{l=0}^{\infty} i^l (2l+1) j_{kl}(kr) P_l(\mu) \quad 2.1.19$$

sustituyendo 2.1.14 se tiene

$$\rightarrow \boxed{e^{ikr\cos(\theta)} = \sum_{l=0}^{\infty} i^l (2l+1) P_l(\cos\theta) \frac{\text{sen}(kr - \frac{1}{2}l\pi)}{kr}} \quad 2.1.20.a$$

por lo tanto

$$e^{ikz} = \sum_{l=0}^{\infty} i^l (2l+1) P_l(\cos\theta) \frac{i}{2kr} \left(e^{-i(kr - \frac{1}{2}l\pi)} - e^{i(kr - \frac{1}{2}l\pi)} \right) \quad 2.1.20.b$$

esta es la expansión de la onda plana en términos de polinomios de Legendre.

Bajo el resultado anterior calculemos, entonces, la amplitud de dispersión.

Dado que la forma general de una solución de la ecuación de Schrödinger (Ec. 2.1.3)

$$\psi_{\text{TOTAL}} \approx e^{ikz + f(\theta)} e^{ikr/r}$$

que presente simetría axial (respecto del eje z), debe ser la

solución que describe la dispersión esta puede ser escrita como una suma de productos $R_l(r)P_l(\cos\theta)$ al igual que la Ec. 2.1.13 pero ahora $R_l(r)$ corresponde a la solución radial de la ecuación de Schrödinger bajo un potencial $V(r)$ (véase apéndice C). Cuya solución asintótica es

$$R_l(r) \approx \frac{\text{sen}(kr - \frac{1}{2}l\pi + \delta_l)}{kr} \quad 2.1.21$$

De acuerdo con esto, al igual que la Ec. 2.1.20, escribiremos la solución general asintótica para ψ_{TOTAL} en la forma:

$$\psi_{\text{TOTAL}} \approx \sum_{l=0}^{\infty} i^l (2l+1) A_l P_l(\cos\theta) \frac{\text{sen}(kr - \frac{1}{2}l\pi + \delta_l)}{kr} \quad 2.1.22.a$$

$$= \sum_{l=0}^{\infty} i^l (2l+1) A_l P_l(\cos\theta) \frac{i}{2kr} \left[e^{-i(kr - \frac{1}{2}l\pi + \delta_l)} - e^{i(kr - \frac{1}{2}l\pi + \delta_l)} \right] \quad 2.1.22.b$$

Los coeficientes A_l deben elegirse de tal manera que esta función tenga la forma de la ecuación 2.1.3.

$$\psi_{\text{TOTAL}} \approx e^{ikz} + f(\theta) e^{ikr} / r \quad 2.1.3$$

para ello utilizaremos los resultados obtenidos en las Ec. 2.1.20.b para el desarrollo de la onda plana en Polinomios de Legendre. Sustituyendo en 2.1.3 tenemos

$$\psi_{\text{TOTAL}} \approx \sum_{l=0}^{\infty} i^l (2l+1) P_l(\cos\theta) \frac{i}{2kr} \left[e^{-i(kr - \frac{1}{2}l\pi)} - e^{i(kr - \frac{1}{2}l\pi)} \right] + \frac{f(\theta)}{r} e^{ikr}$$

pero como ψ_{TOTAL} esta dada por la ecuación 2.1.22.b, entonces

$$\begin{aligned} \frac{f(\theta)}{r} e^{ikr} + \sum_{l=0}^{\infty} i^l (2l+1) P_l(\cos\theta) \frac{i}{2kr} e^{-ikr} e^{i\frac{1}{2}l\pi} \\ - \sum_{l=0}^{\infty} i^l (2l+1) P_l(\cos\theta) \frac{i}{2kr} e^{ikr} e^{-i\frac{1}{2}l\pi} \\ = \sum_{l=0}^{\infty} i^l (2l+1) A_l P_l(\cos\theta) \frac{i}{2kr} e^{-ikr} e^{i(\frac{1}{2}l\pi - \xi)} \\ - \sum_{l=0}^{\infty} i^l (2l+1) A_l P_l(\cos\theta) \frac{i}{2kr} e^{ikr} e^{i(-\frac{1}{2}l\pi + \xi)} \end{aligned}$$

separando esta ecuación por sus términos e^{ikr} y e^{-ikr} , tenemos para e^{ikr}

$$\begin{aligned} \frac{f(\theta)}{r} e^{ikr} + \sum_{l=0}^{\infty} i^l (2l+1) P_l(\cos\theta) \frac{i}{2kr} e^{ikr} e^{-i\frac{1}{2}l\pi} \\ = \sum_{l=0}^{\infty} i^l (2l+1) A_l P_l(\cos\theta) \frac{i}{2kr} e^{ikr} e^{i(-\frac{1}{2}l\pi + \xi)} \end{aligned}$$

multiplicando a por e^{-ikr} $2ikr$ se obtiene entonces que

$$a) 2ikf(\theta) + \sum_{l=0}^{\infty} i^l (2l+1) P_l(\cos\theta) e^{-i\frac{1}{2}l\pi} = \sum_{l=0}^{\infty} i^l (2l+1) A_l P_l(\cos\theta) e^{i(-\frac{1}{2}l\pi + \xi)}$$

para e^{-ikr}

$$\sum_{l=0}^{\infty} i^l (2l+1) P_l(\cos\theta) \frac{i}{2kr} e^{-ikr} e^{i\frac{1}{2}l\pi}$$

$$= \sum_{l=0}^{\infty} i^l (2l+1) A_l P_l(\cos\theta) \frac{i}{2kr} e^{-lkr} e^{i(\frac{1}{2}l\pi - \delta_l)}$$

y multiplicando b por e^{ikr} $2lkr$ se obtiene que

$$b) \sum_{l=0}^{\infty} i^l (2l+1) P_l(\cos\theta) e^{i\frac{1}{2}l\pi} = \sum_{l=0}^{\infty} i^l (2l+1) A_l P_l(\cos\theta) e^{i(\frac{1}{2}l\pi - \delta_l)}$$

dado que esta expresión debe cumplirse para todo valor de θ y de la ortogonalidad de los polinomios de Legendre, de la ecuación (b) se tiene que

$$A_l = e^{i\delta_l}$$

∴ sustituyendo este resultado en la ecuación a, anterior, se tiene que

$$2ikf(\theta) + \sum_{l=0}^{\infty} i^l (2l+1) P_l(\cos\theta) e^{-i\frac{1}{2}l\pi} = \sum_{l=0}^{\infty} i^l (2l+1) e^{i\delta_l} P_l(\cos\theta) e^{i(\frac{1}{2}l\pi - \delta_l)}$$

$$\rightarrow 2ik f(\theta) + \sum_{l=0}^{\infty} (2l+1) P_l(\cos\theta) \left[i^l e^{-i\frac{1}{2}l\pi} \right]$$

$$= \sum_{l=0}^{\infty} (2l+1) P_l(\cos\theta) e^{2i\delta_l} \left[i^l e^{-i\frac{1}{2}l\pi} \right]$$

nótese que la expresión entre corchetes

$$\left[i^l e^{-i\frac{1}{2}l\pi} \right] = i^l [\cos(\frac{1}{2}l\pi) - i\sin(\frac{1}{2}l\pi)] = 1 \quad \text{para } l=0,1,2, \dots$$

$$\therefore 2ik f(\theta) + \sum_{l=0}^{\infty} (2l+1)P_l(\cos\theta) = \sum_{l=0}^{\infty} (2l+1)P_l(\cos\theta) e^{2i\delta_l}$$

$$\rightarrow 2ik f(\theta) = \sum_{l=0}^{\infty} (2l+1)P_l(\cos\theta) e^{2i\delta_l} - \sum_{l=0}^{\infty} (2l+1)P_l(\cos\theta)$$

$$= \sum_{l=0}^{\infty} (2l+1)P_l(\cos\theta) (e^{2i\delta_l} - 1)$$

$$\therefore f(\theta) = (2ik)^{-1} \sum_{l=0}^{\infty} (2l+1)P_l(\cos\theta) (e^{2i\delta_l} - 1) \quad 2.1.23$$

esta es la expresión para la amplitud de dispersión. Y dado que

$$\sigma(\theta) = |f(\theta)|^2$$

$$= \left| (2ik)^{-1} \sum_{l=0}^{\infty} (2l+1)P_l(\cos\theta) (e^{2i\delta_l} - 1) \right|^2$$

entonces

$$\sigma(\theta) = \frac{1}{4k^2} \left| \sum_{l=0}^{\infty} (2l+1)P_l(\cos\theta) (e^{2i\delta_l} - 1) \right|^2 \quad 2.1.24$$

Esta es la Sección Eficaz Diferencial de Dispersión Para un potencial esférico simétrico, donde δ_l es el cambio de fase de la l -ésima onda parcial.

$$\therefore 2ik f(\theta) + \sum_{l=0}^{\infty} (2l+1)P_l(\cos\theta) = \sum_{l=0}^{\infty} (2l+1)P_l(\cos\theta) e^{2i\delta_l}$$

$$\rightarrow 2ik f(\theta) = \sum_{l=0}^{\infty} (2l+1)P_l(\cos\theta) e^{2i\delta_l} - \sum_{l=0}^{\infty} (2l+1)P_l(\cos\theta)$$

$$= \sum_{l=0}^{\infty} (2l+1)P_l(\cos\theta) (e^{2i\delta_l} - 1)$$

$$\therefore f(\theta) = (2ik)^{-1} \sum_{l=0}^{\infty} (2l+1)P_l(\cos\theta) (e^{2i\delta_l} - 1) \quad 2.1.23$$

esta es la expresión para la amplitud de dispersión. Y dado que

$$\sigma(\theta) = |f(\theta)|^2$$

$$= \left| (2ik)^{-1} \sum_{l=0}^{\infty} (2l+1)P_l(\cos\theta) (e^{2i\delta_l} - 1) \right|^2$$

entonces

$$\sigma(\theta) = \frac{1}{4k^2} \left| \sum_{l=0}^{\infty} (2l+1)P_l(\cos\theta) (e^{2i\delta_l} - 1) \right|^2 \quad 2.1.24$$

Esta es la Sección Eficaz Diferencial de Dispersión Para un potencial esférico simétrico, donde δ_l es el cambio de fase de la l -ésima onda parcial.

2.2 TECNICA SANS¹¹

El empleo de la técnica de dispersión a ángulos pequeños (SANS)¹² está creciendo rápidamente. SANS. es aplicable a diferentes campos científicos [G. Kostorz, 1979; V. Gerold and G. Kostorz, 1978; W.Schmatz, T.Springer, et al., 1974; W. Schmatz, 1976], como en la física del estado sólido, química y biología. Nuestro interés está relacionado con los defectos estructurales, debidos a la cavitación que da origen a las fracturas¹³.

La técnica SAS está limitada al estudio de partículas de 1000 a 10,000 Å de diámetro [V. Gerol and Kostorz, 1978 P. 376 y W. Schmatz, 1974 P. 100]¹⁴.

La técnica SANS, en su desarrollo a partir de la mecánica cuántica, parte de la validez de la aproximación de Born¹⁵, un

11.- El presente capítulo esta basado en los artículos de Gerold V y G. Kostorz, 1978 y G. Kostorz, 1979 y 1983.

12.- SAS (Small Angle Scattering) para la técnica de dispersión a ángulos pequeños convencional (Neutrones, Rayos X, Electrones); SANS (Small Angle Neutron Scattering) para el caso especial de neutrones. El término SANS describe experimentos de dispersión en un rango angular [W. Schmatz, 1976] de 0.5 a 5×10^{-4} radianes usando longitudes de onda de 5 a 20 Å. Esto da rangos de Q de 0.5 a 1×10^{-4} Å⁻¹ aproximadamente.

13.- Dos trabajos interesantes acerca de la nucleación de huecos en fractura han sido realizadas por M.F. Ashby, 1979 y Chen and Argón, 1981. Véase, capítulo I; y en el caso especial de la aleación Nimonic 80 A, véase, Weaver, 1959 y D. McLean, 1959.

14.- Dichos valores dependen fuertemente de la longitud de onda de la partícula incidente.

15.- En la teoría desarrollada en el Cap. 2.1. esta aproximación corresponde al caso en que las faces ξ_i son pequeñas. Véase Landau, 1958. Se ha omitido el desarrollo y justificación de tal aproximación, esto es debido a que la técnica que pretendo mostrar con mayor detalle no es SANS.

método de aproximación semiclasico para la sección eficaz diferencial. La aproximación de Born consiste en suponer la alteración de la onda del neutrón al atravesar la partícula dispersora, no es muy grande. Esto naturalmente es valido cuando la partícula es pequeña. En caso contrario la aproximación podria ya no valer. Con esto se obtiene [Lehmann, 1977]:

$$\frac{d\sigma}{d\Omega} = \frac{m^2}{4\pi^2\hbar^4} \left| \int_V V(r) e^{iQr} d^3r \right|^2 \quad 2.2.1$$

donde Q está definido como en la sección 2.1.1. Además, haciendo uso del Pseudo Potencial de Fermi¹⁶ [Marton Ladislau, 1959]:

$$V_F = \frac{2\pi\hbar^2}{m} b\delta(r) \quad 2.2.2$$

donde b depende de los detalles de la interacción neutrón núcleo y se le conoce como longitud de dispersión¹⁷. Que en una muestra volumétrica de materia, las interacciones neutrón núcleo pueden ser descritas como una colección de Pseudo potenciales centradas en cada uno de los núcleos.

16.- Un potencial repulsivo válido para la mayoría de las especies nucleares. El empleo del Pseudo Potencial de Fermi se debe a que la colisión entre neutrón y núcleo obedecen a una interacción nuclear intensa pero de muy corto alcance.

17.- La llamada longitud de dispersión es una constante que depende de aquello que tenga influencia en la interacción: elemento químico, isótopo, spin del núcleo y spin del neutrón. Por esto, no sólo varía de elemento a elemento, sino también dentro de un mismo elemento químico, de isótopo a isótopo, por lo que aún en un material puro solamente se puede hablar de longitudes promedias de dispersión. Para valores de b puede verse G. E. Bacon, 1975, Tabla 2, P. 89.

$$V = \sum \frac{2\pi\hbar^2}{m} b_i \delta(\mathbf{r}-\mathbf{r}_i) \quad 2.2.3$$

podremos entonces definir la sección eficaz de dispersión por átomo para una muestra con N núcleos dispersores en un volumen, sustituyendo 2.2.3 en 2.2.1, como

$$\frac{d\sigma}{d\Omega} = \frac{1}{N} \left| \int_V e^{i\mathbf{Q}\cdot\mathbf{r}} \rho_b(\mathbf{r}) d^3r \right|^2 \quad 2.2.4$$

donde $\rho_b(\mathbf{r})$ es la densidad de longitud definida por

$$\rho_b(\mathbf{r}) = \sum_{i=1}^N b_i \delta(\mathbf{r}-\mathbf{r}_i) \quad 2.2.5$$

donde b_i es la longitud de dispersión coherente del i -ésimo núcleo en la posición \mathbf{r}_i . \mathbf{Q} es el vector de dispersión. $\rho_b(\mathbf{r})$ algunas veces es útil reescribirla como:

$$\rho_b(\mathbf{r}) = \Delta\rho(\mathbf{r}) + \bar{\rho}_b \quad 2.2.6$$

con

$$\Delta\rho(\mathbf{r}) = \rho_b(\mathbf{r}) - \bar{\rho}_b \quad 2.2.7$$

donde $\bar{\rho}_b$ es el promedio sobre las distancias mucho más grandes que $1/Q_{\min}$ y Q_{\min} es el más pequeño valor de Q accesible dada por la resolución del instrumento [G. Kostorz, 1979]. Para un rango Q considerado, solo $\Delta\rho(\mathbf{r})$ podrá contribuir a la dispersión, y es claro:

$$\frac{d\sigma}{d\Omega} = \frac{1}{N} \left| \int_V e^{i\mathbf{a}\cdot\mathbf{r}} \Delta\rho(\mathbf{r}) d^3\mathbf{r} \right|^2 \quad 2.2.8$$

MODELO DE DOS FASES:

La simpleza y el amplio uso de la aproximación SAS está basado sobre el modelo de dos fases que a continuación presentamos:

Consideremos una muestra que contiene N_p partículas con una densidad de longitud inhomogénea $\rho_{op} = b_p/v_{op}$, (donde b_p es la densidad de longitud promedio sobre el volumen de la partícula, y v_{op} es el volumen atómico en la partícula). Y sean que tales partículas estén inmersas en una matriz de densidad de longitud homogénea $\rho_{om} = b_m/v_{om}$. de la ecuación 2.2.8:

$$\frac{d\sigma}{d\Omega} = \frac{1}{N} (\rho_{op} - \rho_{om})^2 \left| \int_V e^{i\mathbf{a}\cdot\mathbf{r}} d^3\mathbf{r} \right|^2 \quad 2.2.9$$

donde la integral se extiende sobre el volumen V , que abarca todas las partículas del sistema. Si todas las N_p partículas son idénticas, la sección diferencial se convierte en

$$\frac{d\sigma}{d\Omega} = \frac{V_p^2 N_p}{N} (\rho_{op} - \rho_{om})^2 S(Q) \quad 2.2.10$$

donde V_p es el volumen de una partícula, $(\rho_{op} - \rho_{om})$ es conocida como el contraste de dispersión¹⁰ y $S(Q)$ es la función de

10.- Entre mayor es esta cantidad, mayor es la dispersión. En

dispersión de una partícula simple, dada por

$$S(Q) = \left| \frac{1}{V_p} \int_{V_p} e^{i\mathbf{Q}\cdot\mathbf{r}} d\mathbf{r} \right|^2 \quad 2.2.11$$

donde

$$S(0) = 1$$

A partir de estas dos últimas relaciones es posible obtener información de la dispersión:

a) EXTRAPOLACION DE $Q=0$:

Si la curva de dispersión medida puede ser extrapolada a $Q=0$, de la Ec. 2.2.10 se tiene

$$\frac{dc}{d\Omega} (Q \rightarrow 0) = \frac{V_p^2 N_p}{N} (\rho_{bp} - \rho_{bm})^2 \quad 2.2.12$$

En el caso general V_p , N_p y $(\rho_{bp} - \rho_{bm})$ son valores desconocidos, pero al combinarlo con información procedentes de otras zonas de la curva de dispersión (Fig.2.2.1), estas pueden ser obtenidas.

b) APROXIMACION DE GUINIER:

Para cualquier forma de partícula la función de dispersión a valores pequeños de Q_0 (donde a es una dimensión lineal de las

particular, cuando uno de los componentes es un vacío o poros, su correspondiente ρ es cero y el contraste es máximo. Esto significa que en una mezcla de varias componentes dispersoras, las cavidades son las que dispersan mayoritariamente.

partículas) puede ser aproximada a una función exponencial. De acuerdo con esto:

$$S(Q) = e^{-Q^2 R_D^2} \quad 2.2.13$$

donde R_D es el radio de giro de la partícula definida por

$$R_D^2 = \frac{1}{V_P} \int_{V_P} r_D^2 q(r_D) dr_D \quad 2.2.14$$

donde $q(r_D)$ es la sección transversal de la partícula a lo largo de un plano normal una dirección D (en el plano perpendicular al vector de onda incidente k_0) y a una distancia r_D del origen dentro de la partícula definido por $\int_{V_P} r_D^2 q(r_D) dr_D = 0$.

Para un sistema de partículas orientadas aleatoriamente

$$\overline{S(Q)} = e^{-Q^2 R_G^2 / 3} \quad 2.2.15$$

con

$$R_G^2 = \frac{1}{V_P} \int_{V_P} r^2 d^3r$$

Para esferas de radio R_s

$$R_G = (3/5)^{1/2} R_s \quad 2.2.16$$

La aproximación de Guinier es por lo tanto aceptable sobre un amplio rango de QR_s (≤ 1.2).

c) APROXIMACION DE POROD:

Para sistemas con superficies internas bien definidas, la pendiente final de la curva de dispersión, Fig. 2.2.1, es proporcional a Q^4 . Para partículas de cualquier forma (Q debe ser más grande que el inverso de la dimensión más pequeña de la partícula):

$$\overline{S(Q)} \approx 2\pi A_p / V_p^2 Q^4 \quad 2.2.17$$

donde A_p es el Área superficial de la partícula.

d) INTENSIDAD INTEGRADA:

De la Ec. 2.2.8 sobre todos los valores de Q producidos

$$\tilde{Q}(0) = \frac{N}{V} \int \frac{d\sigma}{d\Omega}(Q) d^3Q = (2\pi)^3 \overline{\Delta\rho(r)^2} \quad 2.2.18$$

donde \tilde{Q} representa las fluctuaciones media cuadrada del sistema. En el modelo de dos fases.

$$\tilde{Q}(0) = (2\pi)^3 (\rho_{bp} - \bar{\rho}_{bm}) (\bar{\rho}_{bp} - \rho_{bm}) \quad 2.2.19$$

ó

$$\tilde{Q}(0) = (2\pi)^3 C_p (1 - C_p) (\rho_{bp} - \rho_{bm})^2 \quad 2.2.20$$

donde $C_p = N_p V_p / V$ es la fracción de volumen de partículas.

e) LONGITUD CARACTERISTICA L_p :

En el modelo de doble fase, L_p es la longitud media de todas

las líneas que pasan a través de cada punto de una partícula en todas direcciones y termina sobre la superficie o la interfaz de la muestra, y está dada por

$$L_p = \frac{V_p}{2\pi} \int_0^{\infty} Q \overline{S(Q)} dQ \quad 2.2.21$$

Para distintas combinaciones de esas relaciones, es posible determinar la forma, tamaño, número y composición de partículas uniformes por medidas precisas sobre un rango amplio de Q . La Fig. 2.2.1 muestra, esquemáticamente, las zonas de la curva de dispersión que corresponden a algunos de los puntos vistos con anterioridad.

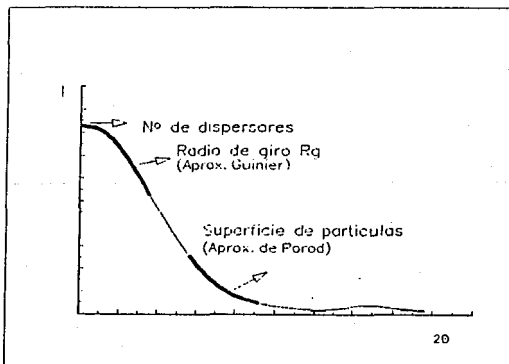


FIG. 2.2.1. INFORMACION QUE SE PUEDE OBTENER DE LAS DISTINTAS PARTES DE UNA CURVA DE DISPERSION SEGUN LA TECNICA CONVENCIONAL SANS.

2.3 TECNICA VSANS.

La técnica que denominare Very Small Angle Neutron Scattering (VSANS) fue empleada por primera vez por Weiss para el estudio de partículas de bismuto (Weiss, 1951) (aunque con otros fines distintos a los presentados en esta tesis)¹⁹ y está cimentada principalmente en los resultados teóricos obtenidos de la mecánica cuántica para la sección eficaz diferencial de dispersión elástica, Ec. 2.1.23.

$$\sigma(\theta) = \frac{1}{4k^2} \left| \sum_{l=0}^{\infty} (2l+1) P_l(\cos\theta) \left(e^{2i\xi_l} - 1 \right) \right|^2 \quad 2.3.1$$

donde ξ_l es el cambio de fase de la l -ésima onda parcial y que contiene la información del potencial central, y que aún no a sido especificado. Nuevamente es conveniente sugerir el Pseudo potencial de Fermi. Así, para un medio de densidad local atómica $\rho(r)$, un potencial promedio (llamado potencial óptico) podrá ser definido como:

$$V_{op} = \frac{2\pi\hbar^2}{m} \rho(r) \bar{b}(r) \quad 2.3.2$$

caracterizado por la longitud de dispersión promedio \bar{b} . Este potencial está fuertemente relacionado con el índice de refracción

19. - Weiss parte de resultados obtenidos por Van de Hulst; en él, hace énfasis en que el predominio de la difracción y refracción de la dispersión depende de el cambio de fase δ ($\delta \ll 1$ para difracción y $\delta \gg 1$ para refracción), de un neutrón que atraviesa una partícula de radi a y el neutrón atravesando la misma distancia en el vacío.

[Marton Ladislau, 1959] para neutrones, definido como:

$$n(r) = [1 - V(r)/E]^{1/2} \quad 2.3.3$$

entonces, sustituyendo 2.3.2 en 2.3.3 se obtiene

$$n^2 = 1 - \frac{\lambda^2}{\pi} \rho \bar{b} \quad 2.3.4$$

ó para $V/E \ll 1$

$$n = 1 - \frac{\lambda^2}{2\pi} \rho \bar{b} \quad 2.3.5.a$$

$$n = 1 - \beta \quad 2.3.5.b$$

Por otro lado, dado que la parte radial de la ecuación de Schrödinger (Ec. C.23, apéndice C)

$$\frac{1}{R} \left[\frac{d}{dr} \left(r \frac{dR}{dr} \right) + \frac{2\mu r^2}{\hbar^2} [E - V] R \right] = \ell(\ell+1) \quad C.23$$

es la que nos proporciona la información referente al cambio de fase, debido a que contiene la información sobre el potencial, es conveniente aplicar el método WKB²⁰ para obtener un valor

20.- Cuando se considera una partícula moviéndose en un potencial $V(x)$, la ecuación de Schrödinger para estados estacionarios tiene la forma

aproximado del cambio de fase debida a la dispersión²¹. A saber (L.S. Rodberg, 1967, P.56):

$$\delta_1 \cong \left[\int_{r_1}^r dr \left(k^2 - \frac{l(l+1)}{r^2} - U(r) \right)^{\frac{1}{2}} - \int_{r_0}^r dr \left(k^2 - \frac{l(l+1)}{r^2} \right)^{\frac{1}{2}} \right] \quad 2.3.6$$

A altas energías la energía potencial será pequeña comparada con la parte radial de la energía cinética, excepto cerca del punto clásico de retorno. Dado que la región cerca del punto de retorno no contribuye significativamente al cambio de la fase, asumiremos $|U(r)| \ll k^2 - l(l+1)/r^2$ en el límite de alta energía, por lo que

$$\delta_1 \cong \lim_{r \rightarrow \infty} \left[\int_{r_1}^r dr \left(k^2 - \frac{l(l+1)}{r^2} \right)^{\frac{1}{2}} \left(1 - \frac{1}{2} U(r) \right) - \int_{r_0}^r dr \left(k^2 - \frac{l(l+1)}{r^2} \right)^{\frac{1}{2}} \right]$$

por lo tanto, 2.3.6 se transforma en el límite,

$$\delta_1 \cong \lim_{r \rightarrow \infty} -\frac{1}{2} \int_{r_0}^{\infty} dr U(r) \left(k^2 - \frac{l(l+1)}{r^2} \right)^{-\frac{1}{2}} \quad 2.3.7$$

$$\frac{\hbar^2}{2m} \frac{d^2 \psi}{dx^2} + V(x)\psi(x) = E\psi(x)$$

la aproximación WKB consiste en suponer a ψ de la forma: $\psi(x) = A(x)e^{iS(x)/\hbar}$ que es un tipo de onda de Broglie generalizada, con amplitud $A(x)$ y fase $S(x)$.

21. - Donde se ha considerado el punto clásico de retorno como $r_0 = [l(l+1)/k^2]^{1/2}$.

si introducimos el valor del parámetro de impacto $s=k^{-1}[\ell(\ell+1)]^{\frac{1}{2}}$ la ecuación anterior se transforma en

$$\xi \approx -\frac{1}{2} \int_{r_0}^{\infty} dr U(r) k^{-1} \left(1 - \frac{s^2}{r^2}\right)^{-\frac{1}{2}} \quad 2.3.8$$

sustituyendo la ecuación 2.3.2 en 2.3.8 tenemos

$$\xi \approx -\frac{1}{2} \int_{r_0}^{\infty} dr \frac{2\pi\hbar^2}{m} \rho(r) \bar{v}(r) k^{-1} \left(1 - \frac{s^2}{r^2}\right)^{-\frac{1}{2}}$$

y dado que $\beta = \frac{\lambda}{2\pi} \rho \bar{v}$ (Ec. 2.3.5.b) sustituyendo en la ecuación anterior, tenemos

$$\xi \approx -\frac{1}{2} \beta k \int_{r_0}^{\infty} dr \frac{\hbar^2}{m} \left(1 - \frac{s^2}{r^2}\right)^{-\frac{1}{2}}$$

por lo tanto

$$\xi = -\beta k \chi_1 \quad 2.3.9$$

donde χ_1 es $\frac{1}{2} \int_{r_0}^{\infty} dr \frac{\hbar^2}{m} \left(1 - \frac{s^2}{r^2}\right)^{-\frac{1}{2}}$ (y es $\frac{1}{2}$ de la longitud que la ℓ -ésima onda parcial intercepta al atravesar la esfera con un parámetro de impacto $s = (\ell + \frac{1}{2})/k$).

usando la relación

$$P_{\ell}(\cos\theta) \cong J_0[(\ell + \frac{1}{2})\sin\theta] = J_0[k s \sin\theta] \quad 2.3.10$$

válida para l grande y θ pequeño²².

sustituyendo estos últimos resultados en 2.3.1 y reemplazando la suma por la integral, tenemos

$$\sigma(\theta) = k^2 \left| \int_0^R J_0(ks \sin \theta) (1 - e^{-2i/\beta k \chi}) s \cdot ds \right|^2 \quad 2.3.11$$

El límite superior está determinado por el hecho de que todas las ondas parciales $(l + \frac{1}{2}) > kR$ no serán dispersadas por la partícula.

Haciendo el siguiente cambio de variable: $s = R \sin \gamma$, $x = R \cos \gamma$, $z = Q \sin \theta \approx 2kR \sin(\frac{1}{2}\theta)$, and $\delta = 2/\beta kR$, Fig. 2.3.1, tenemos:

$$\sigma(\theta) = R^2 k^2 \left| \int_0^{\pi/2} (1 - e^{i\delta \cos \gamma}) J_0(Rz \sin \gamma) \sin \gamma \cos \gamma \, d\gamma \right|^2 \quad 2.3.12$$

Esta es la Sección Eficaz Diferencial que utilizaremos para evaluar la dispersión por cavidades.

.- Esta igualdad puede obtenerse de la ecuación C.8 (apéndice C)

$$\frac{d^2 \theta}{d\theta^2} + \cot \theta \frac{d\theta}{d\theta} + \beta \theta - \frac{\alpha^2 \theta}{\sin^2 \theta} = 0 \quad ; \quad \alpha = m = 0, \quad \beta = l(l+1) \quad \text{c.8}$$

al considerarse $\theta \ll 1$, $\beta \approx (l + \frac{1}{2})^2$ y $s = k^{-1} [l(l+1)]^{\frac{1}{2}} = k^{-1} [(l + \frac{1}{2})^2 - \frac{1}{4}]^{\frac{1}{2}} \approx (l + \frac{1}{2}) / k$

$$\therefore P(\cos \theta) = J_0[(l + \frac{1}{2}) \sin \theta] = J_0[kR \sin \theta]$$

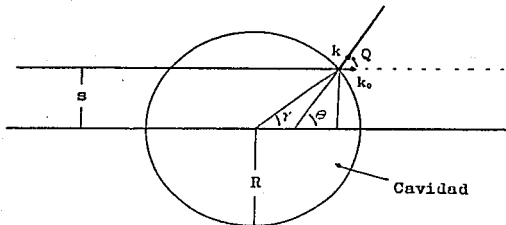


FIG. 2.9.1 LA FIGURA REPRESENTA LA DISPERSION POR UNA CAVIDAD DE RADIO R DADA POR EL PARAMETRO DE IMPACTO S Y EL ANGULO θ . PUEDE VERSE CLARAMENTE QUE: $s=R\sin\gamma$, $x=R\cos\gamma$, $z=Q\sin\theta \approx 2ks\sin(\frac{1}{2}\theta)$, Y $\delta=2\beta kR$.

APLICACION A CAVIDADES:

La afirmación anterior es válida tanto para partículas como para cavidades siempre y cuando las partículas (cavidades) sean grandes comparadas con la longitud de onda. De tal forma que la onda difractada es separable del resto de patrón de dispersión, debido a que está confinada a ángulos muy pequeños de θ , donde es válido el principio de Babinet²⁹. Así, en los sistemas

29.- El Teorema de Babinet dice: objetos complementarios producen los mismos efectos de difracción. Es decir, en una pantalla perforada con agujeros circulares, y un ensamble de discos circulares, cada disco corresponde en tamaño y posición a un agujero particular, que producirán los mismos efectos de difracción (Guinier, 1955).

experimentales generalmente usados para el estudio de ángulos pequeños, el principio de Babinet puede ser aplicado a un ensamble tanto de partículas como de cavidades (esto es: un ensamble de partículas en un medio homogéneo puede ser considerado igual a un ensamble de cavidades) [Guinier, 1955].

Apoyándonos en el resultado anterior, y considerando que la distribución de cavidades dentro de una muestra sometida a termofluencia obedece a una función Log-Normal (véase Cap. 1):

$$n(R) = \frac{1}{R \sqrt{2\pi\sigma}} e^{-\ln^2(R/\bar{R})/2\sigma^2} dR$$

proponemos la siguiente expresión para el estudio de cavidades:

$$\sigma_{\text{TEO}}(\theta') = \int_{R_{\text{MIN.}}}^{R_{\text{MAX.}}} n(R) \sigma(\theta', R) dR \quad 2.3.13$$

donde

$$\sigma(\theta', R) = R^4 k^2 \left| \int_0^{\pi/2} (1 - e^{i\delta \cos \gamma}) \cdot J_0(Rz \sin \gamma) \sin \gamma \cos \gamma d\gamma \right|^2 \quad 2.3.14$$

pero, si además consideramos una curva de resolución $R(\theta - \theta')$ dada por el instrumento²⁴, tenemos

$$\sigma_{\text{TEO-EXP}}(\theta) = \int_{-\infty}^{\infty} \sigma_{\text{TEO}}(\theta') R(\theta - \theta') d\theta' \quad 2.3.15$$

24.- Nótese que si la curva de resolución fuese una delta de Dirac entonces $\sigma_{\text{TEO-EXP}}(\theta) = \sigma_{\text{TEO}}(\theta)$.

por lo anterior, hemos realizado un programa que evalúa numéricamente la ecuación que engloba todas estas consideraciones:

$$\sigma_{\text{TEO-EXP.}}(\theta) = \int_{-\infty}^{\infty} \left[\int_{R_{\text{MIN.}}}^{R_{\text{MAX.}}} n(R) \sigma(\theta^*, R) dR \right] R(\theta - \theta^*) d\theta^* \quad 2.3.16$$

dicho programa aparece en el apéndice B.

Finalmente, cabe aclarar que el número de partículas dispersadas que "caen" al detector están dadas por [Melissinos, 1969, P.239]:

$$I_s = I_0 N \frac{d\sigma}{d\Omega} d\Omega \quad 2.3.17$$

donde

I_0 es el haz incidente; $\left[\frac{\text{Neutrones}}{\text{seg. cm}^2} \right]$

$d\Omega = \frac{\text{Area del detector}}{(\text{distancia de la muestra al detector})^2}$

es el ángulo sólido [Steradian]

$N = \frac{t\rho N_0}{A}$ es la densidad superficial $\left[\frac{\text{Núcleos}}{\text{cm}^2} \right]$

donde

$N_0 = 6.62 \times 10^{23}$ $\left[\frac{\text{moléculas}}{\text{gr. mol}} \right]$ es el número de Avogadro

ρ es la densidad de los dispersores $\left[\frac{\text{gr.}}{\text{cm}^3} \right]$

t es el ancho de la muestra [cm]

A es el peso atómico del material dispersor

$\frac{d\sigma}{d\Omega}$ es la sección eficaz diferencial [cm^2]

Por lo que la intensidad dispersada es proporcional a la sección eficaz diferencial (ya que I_0 y N son constantes que dependen de la fuente de neutrones y de la muestra empleada, respectivamente).

$$I_s \propto \frac{d\sigma}{d\Omega}$$

2.3.18

Para el presente trabajo utilizare únicamente la ecuación 2.3.18 (podríamos obtener información sobre N del ajuste, pero por el momento se despreciará este término). Por lo que, al ajustar la ecuación 2.3.16 a la curva de dispersión, ésta nos proporcionará información sobre la distribución de cavidades (aproximadamente una Log-Normal), así como el radio promedio de las cavidades.

CAPITULO III

DISPOSITIVO EXPERIMENTAL.

INTRODUCCION

Las medidas a las cuales se aplicará la técnica VSANS fueron tomadas por los Drs. J. Palacios y Schwahn D.²⁵ en el espectrómetro SN 18 del Institut Laue Langevin en Grenoble, Francia. Aquí sólo se expondrá el principio del funcionamiento del instrumento utilizado.

3.1 FUENTE DE NEUTRONES: REACTOR EXPERIMENTAL DE ALTO FLUJO, INSTITUT LAUE LANGEVIN (ILL-HFT).

Como fuente de neutrones se empleó aquel generado²⁶ por el reactor experimental de alto flujo del Institut Von Laue-Langevin²⁷, de Francia. Este opera a una potencia de 57 MW

25.- Dr. Jesús Palacios O: Inv. Nac. del Instituto Politécnico Nacional de México (IPN); Dr. Schwahn D.: Inv. del Institut Für Festkörperforschung, de Alemania.

26.- Típicamente, la reacción de fisión que da lugar a la obtención de neutrones dentro de un reactor es (Hollon Koller, 1963, p. 765):



donde ${}_{56}^{141}\text{Ba}$ y ${}_{36}^{92}\text{Kr}$ son los productos de fisión resultantes.

27.- Una información más completa sobre las instalaciones con que cuenta el Instituto se encuentra en el folletín "Institut Max Von

(térmico) proporcionando un flujo máximo de neutrones térmicos de 1.2×10^{15} n/cm²/sec. El elemento combustible contiene aproximadamente 9 Kg. de uranio enriquecido al 93% por U²³⁵. Como enfriador y moderador se utiliza agua pesada (con la circulación de esta, a través de un intercambio de calor).

Los haces de neutrones térmicos, calientes y fríos²⁸, generados en el reactor, están disponibles a través de puertos etiquetados, como se muestra en la Fig. 3.1.1. El reactor cuenta con dos salidas de neutrones fríos, cinco térmicos y cuatro calientes. Las longitudes de esas salidas o guías son de hasta 120m.

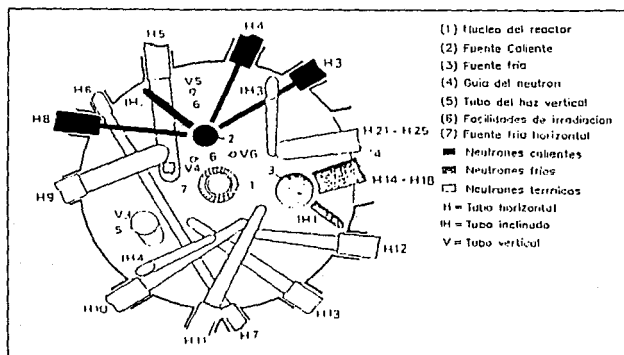


FIG. 3.1.1 ARREGLO DE LOS PUERTOS (GUIAS DE NEUTRONES) DEL REACTOR DE ALTO FLUJO DEL INSTITUT LAUE LANGEVIN. FUENTE: ILL-HFR, 1986.

Laue Paul Langevin, Grenoble, France, 1986.

28. - dependiendo de la energía cinética con que son emitidos

3.2 ESPECTROMETRO DE DOBLE CRISTAL DE ALTA RESOLUCION ANGULAR (DCS). DESCRIPCION DEL EXPERIMENTO.

De un haz de neutrones procedentes del reactor se extrae un haz monocromático a través de un monocristal casi perfecto de Si (b), en la Fig. 3.2.1, usando sus planos (220) en posición de difracción de Laue. El haz monocromático incide en un segundo cristal casi perfecto de silicio (d), de tal forma que se produce nuevamente la difracción por los planos (220) y el haz difractado emerge paralelo al haz antes del primer cristal y es registrado por los detectores. En la Fig. 3.2.1 se muestra, esquemáticamente, el arreglo experimental, en el cual se ilustran los dos cristales y las medidas de dispersión Q_{\parallel} y Q_{\perp} (y corresponden a rotar la muestra 90°).

Si hacemos rotar el segundo cristal sobre de un eje vertical, sin considerar la muestra, se obtiene una curva de distribución que denominaremos "curva de resolución" ("Rocking Curve"). Esta curva contiene información de la resolución del instrumento, con un ancho del orden de segundos de arco, debido a que por tratarse de cristales casi perfectos la difracción es dinámica [W.H. Zachariasen, 1945]. Si se introduce una partícula, o un conjunto de partículas, con diámetros entre 0.1 y 10 Å en la trayectoria del haz entre ambos cristales (punto M en la Fig. 3.2.1), el conjunto de neutrones dispersados por la partícula no cumplen con la ley de Bragg²⁹ en el segundo cristal; así, los neutrones dispersados encontrarán un ángulo, al rotar nuevamente el cristal, para el cual cumplan la ley de Bragg. Esto significa que en la nueva curva de distribución el pico disminuye y la curva se ensancha, dando un espectro típico de la dispersión a bajo ángulo, pero con una resolución del orden de segundos de arco.

29.- Ley de Bragg: $2d\sin\theta = n\lambda$. Donde d es la distancia entre planos atómicos paralelos.

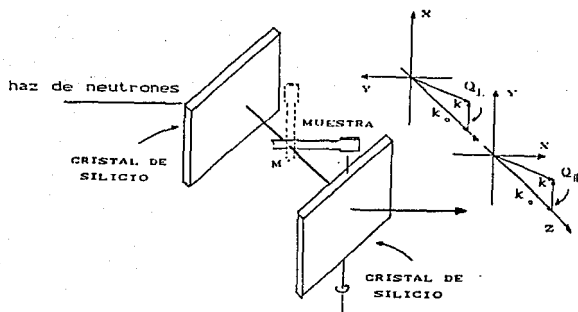


FIG. 3.2.1 REPRESENTACION ESQUEMATICA DEL ESPECTROMETRO DE DOBLE CRISTAL.

Cuando el número de partículas dispersoras es muy grande, se produce un fenómeno conocido como dispersión múltiple³⁰ y debe ser corregido antes de compararlos con la teoría. La dispersión múltiple se ve como una contribución adicional del ensanchamiento en los picos de difracción.

30.- El neutrón dispersado por las partículas puede colisionar nuevamente por otra partícula.

3.3 INSTRUMENTO S18 (ILL-HFR). DESCRIPCION DEL INSTRUMENTO.

El instrumento empleado, dentro de las instalaciones del Instituto referido, es el instrumento S18, figura 3.3.1. Es un difractor de dos ejes que consta de dos cristales casi perfectos de silicio, empleados generalmente para interferometría de neutrones

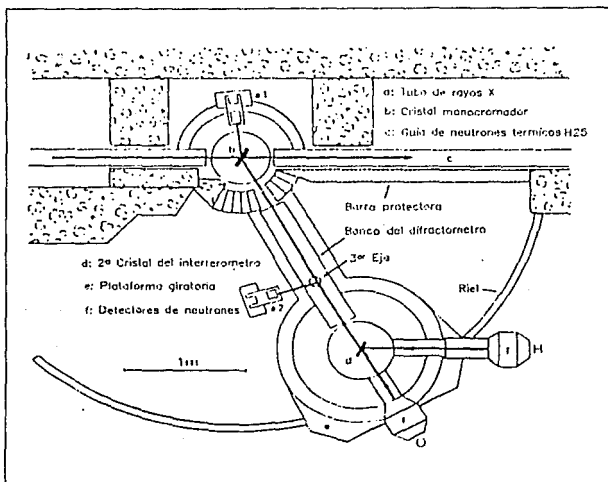


FIG. 3.3.1 VISTA ESQUEMATICA DEL INSTRUMENTO S18 (INTERFEROMETRO DE NEUTRONES) DEL INSTITUT LAUE-LANGEVIN. FUENTE: ILL-HFR, 1986.

En el modo usual de operación, un cristal casi perfecto de silicio es usado como monocromador (b), figura 3.3.1, la fuente de neutrones (térmicos) es obtenida del puerto H25 (Fig. 3.1.1); lo cual hace posible obtener un haz de longitud de onda ajustable que incide en un segundo cristal casi perfecto de silicio (d). El instrumento permite obtener una curva de resolución estrecha ($\leq 3\%$). Además pueden medirse la difracción hacia adelante (O) y el haz difractado (H).

La alta sensibilidad angular se obtiene de una rotación fina, de 0.01° de resolución, en el segundo cristal (d). Las vibraciones mecánicas se reducen a través de una "suspensión" montada en un "banco óptico", que soporta, además, un tercer eje. Dos tubos de rayos X en α_1 y α_2 están incorporados al sistema para propósitos de calibración y estabilización.

El tercer eje esta disponible cerca de la posición α_2 proporcionando un grado adicional de libertad en el movimiento del interferómetro.

El instrumento S18 es controlado por un microprocesador enlazado directamente a una microcomputadora; la operación del instrumento y el procesamiento de los datos pueden ser realizados por programas vía Fortran.

CAPITULO IV

EXPERIMENTO Y RESULTADOS.

INTRODUCCION

Experimentalmente se observa que de los distintos barridos, sobre una muestra sometida a un proceso de termofluencia y llevada a la fractura, la dispersión por cavidades en una zona cercana a la fractura ($\approx 1\text{cm}$) puede ser estudiada a partir de las técnicas SANS y VSANS, puesto que en tal zona, se observa un "pico" debida a la transmisión sobre la dispersión múltiple. Tal condición es importante para efectuar las correcciones por dispersión múltiple y aplicar las técnicas antes citadas.

Las técnicas revelan³¹: un radio de giro de $\approx 1\mu\text{m}$ según SANS, y una distribución de cavidades Log-Normal dado por los parametros $\sigma \approx 0.585$ (varianza) y $RM \approx 0.8 \mu\text{m}$ en VSANS. Estos resultados sugieren que la técnica VSANS, que puede ser mejorada, puede aplicarse al estudio de cavidades.

A continuación se dan los detalles del experimento, la discusión y finalmente las conclusiones.

31.- Al igual que otras investigaciones referentes al estudio de cavidades, (D. McLean, 1956; C. W. Weaver, 1959); se observaron cavidades del orden de $1 \mu\text{m}$ de diámetro.

4.1 EXPERIMENTO.

Una aleación a base de níquel, NIMONIC 80A³², fue llevada, por un proceso de termofluencia, a la fractura con el fin de nuclear cavidades para su posterior estudio. La muestra cuyas dimensiones originales eran de 5.08 cm. de longitud y 0.64 cm. de diámetro, fue sometida a las siguientes condiciones de termofluencia: 1023 °K (750 °C) bajo una tensión de 226 MPa (N/mm²), a un tiempo de fractura de 1644h (5.9x10⁶s). La muestra fue cortada longitudinalmente a un espesor de 0.4 cm. Se utilizó un flujo de neutrones térmicos de longitud de onda de 1.874 Å y se obtubieron espectros de dispersión para una Q_{||} y Q_⊥³³. Para el estudio de la muestra se utilizó el arreglo experimental mostrado en las sección 3.3., Cap. III: un espectómetro de Doble Cristal de Alta Resolución Angular DCS.

Las gráficas de los distintos barridos (Tablas 1 y 2, apéndice A) obtenidos experimentalmente³⁴ se muestran en las figuras 4.1.1 y 4.1.2.

32. - Véase Tabla 1.2.1, capítulo I, para ver su composición química.

33. - Q es el vector de dispersión y es igual a $Q=k-k'=2ksen(\theta/2)$. $Q_{||} \approx \pi/\lambda\theta$ para $\theta \ll 1$. Q_⊥ consiste en una rotación de 90° de la muestra. Véase Fig 3.2.1, cap III.

34. - Los datos fueron proporcionados, en comunicación personal, por el Dr. J. Palacios (Inv. Nac. del Instituto Politécnico Nacional de México (I. P. N.)).

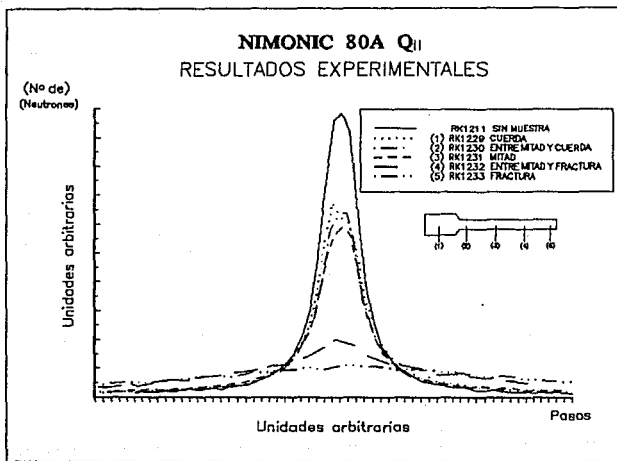


FIG. 4.1.1. RESULTADOS EXPERIMENTALES, PARA Q_{11} , DEL NUMERO DE NEUTRONES DETECTADOS V.S. PASOS. CADA PASO CORRESPONDE A 1.25×10^{-4} RAD. (2.182×10^{-4} GRADOS). LAS ETIQUETAS RK1211, RK1229, ... RK1233 SON LOS NOMBRES DADOS A LAS MEDIDAS.

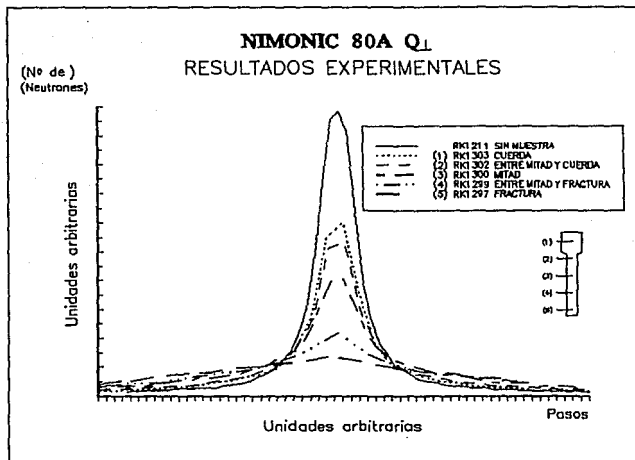


FIG. 4.1.2. RESULTADOS EXPERIMENTALES, PARA $G \perp$ DEL NUMERO DE NEUTRONES DETECTADOS V.S. PASOS. CADA PASO CORRESPONDE A 1.25×10^{-4} RAD. (2.182×10^{-3} GRADOS). LAS ETIQUETAS RKI211, RKI303, ... RKI297 SON LOS NOMBRES DADOS A LAS MEDIDAS.

4.2 DISCUSION.

En las figuras 4.1.1 y 4.1.2, donde se muestran los resultados experimentales, puede verse claramente que la dispersión se debe, principalmente, a cavidades; ya que a medida que nos acercamos a la fractura la dispersión es mayor y es donde las cavidades pueblan más densamente al material.

Tomando en cuenta los resultados de las medidas Q_{II} , Fig. 4.1.1., se pueden observar las siguientes consideraciones:

- a) Las medidas RK1229, RK1230 y RK1231 solo se ensanchan levemente, lo que significa que se pueden ajustar por una curva del tipo resolución³⁵ la cual correspondería a la transmisión y una pequeña contribución a la dispersión.
- b) Las medidas Rk1232, que está muy próxima a la zona de fractura ($\approx 1cm$), presenta claramente una suma de dos contribuciones, Fig. 4.2.1: una "amplia" correspondiente a la dispersión y una "estrecha" que es la transmisión. Con esto, la transmisión puede ser calculada y con ello la dispersión múltiple puede ser corregida.
- c) La medidas Rk1233, que corresponde a la fractura ya no muestra el pico de transmisión y es además ligeramente mas ancha que la medida RK1232. El hecho de que en el espectro medido no se observe el pico de transmisión significa que hay mucha dispersión múltiple. Mas aún, puesto que no se observa el pico de transmisión, la corrección por dispersión múltiple no se puede hacer.

35. - Véase sección 3.2 del capítulo III.

Otro resultado importante, cualitativo, que proporcionan las Figs. 4.1.1 y 4.1.2, si se comparan, es que dan información acerca del grado de deformación que han sufrido las cavidades a través de proceso de termofluencia. Si consideramos que para Q_{\perp} la dispersión es mucho mayor que para Q_{\parallel} , entonces, las cavidades en primera aproximación presentan una forma elipsoidal, ya que la dispersión depende fuertemente de la orientación. Sin embargo, analizando el caso especial de las medidas RK1232 Q_{\parallel} y RK1299 Q_{\perp} (cercanas a la fractura), estas sugieren que las cavidades en esta zona son más o menos esféricas; las amplitudes de dispersión son aproximadamente las mismas.

Así, de acuerdo lo antes expuesto, analizaremos el caso especial de las medidas RK1232 (cercana a la fractura con Q_{\parallel}), figura 4.2.1. En la gráfica³⁶ pueden verse las contribuciones, apreciativas, de lo que se considera la dispersión y la transmisión. Estos datos fueron corregidos por dispersión múltiple³⁷ y aproximados a una curva gaussiana, cuya ecuación es:

$$A(x) = (137.6 \pm 0.05)e^{-(x/14.16 \pm 0.005)^2} \quad 4.2.1$$

donde x es el número de pasos (cada paso corresponde a 1.25×10^{-4} rad. - 2.182×10^{-4} grados). La curva ajustada por dispersión múltiple, Ec. 4.2.1, es la dispersión de los neutrones por las cavidades.

36. - Se ha sobrepuesto la curva con respecto al centro con fines estadísticos.

37. - Como dicha técnica es una discusión aparte, que no entra en los planes de este trabajo, no se mostrará explícitamente el proceso de corrección. Dicha corrección fue realizada por el Dr. Palacios con base en programas de cómputo ya establecidos para este propósito. Véase Michael Monkébusch, 1971.

la curva de resolución (Ec. 2.3.15) fue ajustada a una Lorenziana cuya ecuación es:

$$f(x) = \frac{5472 \pm 0.5}{1+x^2(0.6448 \pm 0.00005)^2/3}$$

4.2.2

x en pasos

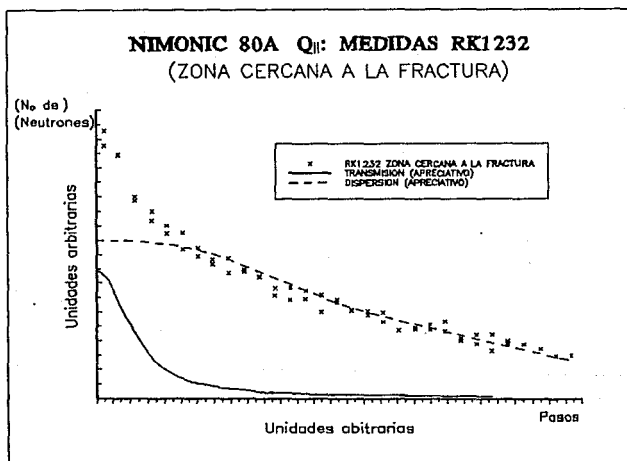


FIG. 4.2.1. RESULTADOS EXPERIMENTALES DE LA MEDIDAS RK1232 (CERCANA A LA FRACTURA) CON Q_{II}. DONDE LAS x REPRESENTAN AL HAZ TOTAL DISPERSADO (DATOS EXPERIMENTALES): ----- HAZ DISPERSADO (APRECIATIVO) Y ————— LA TRANSMISION (APRECIATIVO).

TECNICA SANS:

Si aplicamos la aproximación de Guinier, Ec. 2.2.15, cap. 11, de la técnica SANS

$$S(Q) = e^{-Q^2 R_g^2 / 3}$$

entonces³⁸

$$-(x/14.16)^2 = -(4\pi/\lambda)^2 (2.182 \times 10^{-6})^2 x^2 R_g^2 / 3$$

para $\lambda = 1.874 \times 10^{-10}$ m

$$\rightarrow R_g = \sqrt{\frac{3}{(14.16)^2 (4\pi/\lambda)^2 (2.182 \times 10^{-6})^2}} = 8.360 \times 10^{-7} \text{ m [metros]}$$

$$\therefore R_g = 0.836 \pm 0.0003 \text{ } \mu\text{m}$$

4.2.3

y si consideramos el caso de partículas esféricas, dentro de la técnica SANS, Ec. 2.2.16, cap. 11.

$$R_g = R \sqrt{3/5}$$

entonces

$$R \approx 1.079 \pm 0.0004 \text{ } \mu\text{m.}$$

4.2.4

38. - $Q = 4\pi/\lambda \sin\theta$, si $\theta \ll 1$ entonces $Q = 4\pi/\lambda\theta$; pero 1 PASO = 2.182×10^6 rad. y $\lambda = 1.874 \times 10^{-10}$ m

Así, la dispersión de los neutrones por las cavidades cuyo radio de giro (radio promedio sobre las distintas orientaciones), es del orden de $R_g \approx 0.836 \pm 0.0003 \mu\text{m}$, siguiendo el método SANS (en la aproximación de Guinier). A el valor de la incertidumbre encontrado deben sumársele otros mas, p.e. el correspondiente a la corrección por rendija, por lo que debe tomarse con cierta reserva.

TECNICA VSANS:

Aplicando el programa de cómputo diseñado para evaluar la sección eficaz³⁹ en la técnica VSANS, Ec. 2.3.18.

$$\sigma_{\text{TEO-EXP.}}(\theta) = \int_{-\infty}^{\infty} \left[\int_{R_{\text{MIN.}}}^{R_{\text{MAX.}}} n(R) \sigma(\theta', R) dR \right] R(\theta - \theta') d\theta' \quad 2.3.18$$

(donde $R(\theta - \theta')$ esta dada por la Ec. 4.2.2.). Se ajusto⁴⁰ la curva de dispersión debida a las cavidades (corrección por dispersión múltiple), Ec. 4.2.1, a las sección eficaz de VSANS, tomando en cuenta que, Ec. 2.3.18:

$$I_s \propto A \frac{d\sigma}{d\Omega} \quad 2.3.18$$

se obtuvieron los siguientes resultados, Fig. 4.2.2.:

P[1]=26.988 ± 8.0	(A amplitud),
P[2]=7.847E-07 ± 0.4 E-07	(RM -radio promedio),
P[3]=0.585 ± 0.5E-08	(σ -varianza el la Log-Normal)

39.- Uno de los objetivos de esta tesis consiste en la realización de un programa que evalúe la sección eficaz de dispersión para cavidades grandes, comparados con la longitud de onda, tal programa se encuentra plasmado en el apéndice B. Véase, Cap. III.

40.- Nuevamente se hace referencia a un programa ya establecido para este propósito. Véase J. Lang and R. Müller, 1971.

parámetros que corresponden a una distribución Log-Normal, (Ec. 1.3.1, Cap. 1)

$$n(R) = \frac{1}{R \sqrt{2\pi\sigma}} e^{-\ln^2(RM/R)/2\sigma^2} dR \quad 1.3.1$$

distribución del tamaño de las cavidades que se espera se encuentre en la muestra en la zona cercana a la fractura, Fig. 4.2.3. A estos valores de la incertidumbre deben sumársele otros mas, p.e. el correspondiente a la corrección por rendija, por lo que debe tomarse con cierta reserva.

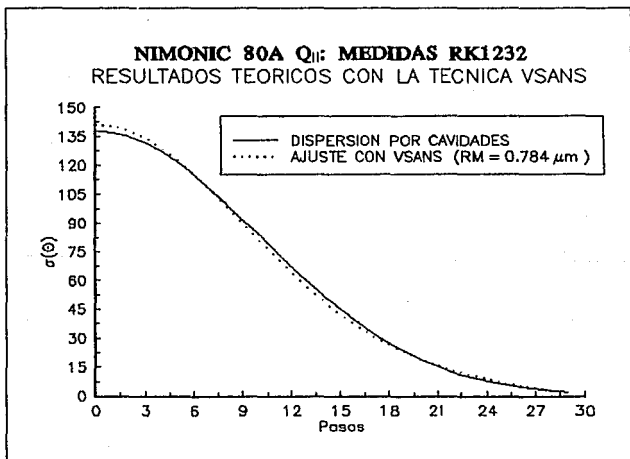


FIG. 4.2.2. — DISPERSION POR LAS CAVIDADES (CURVA CORREGIDA POR DISPERSION MULTIPLE), Ec. 4.2.1; ---- RESULTADOS EXPERIMENTALES OBTENIDOS DEL AJUSTE SEGUN LA TECNICA VSANS.

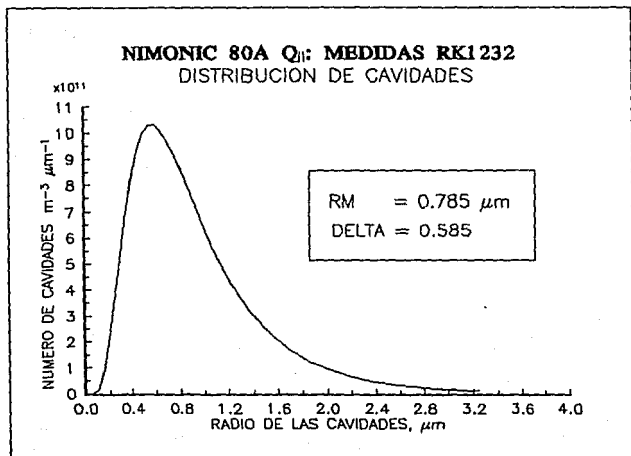


FIG. 4.2.9. DISTRIBUCION DE CAVIDADES, LOG-NORMAL, QUE SE DESPRENDE DEL AJUSTE, SEGUN VSANS, DE LA ALEACION NIMONIC 80A CERCANA A LA FRACTURA (≈ 1 cm.).

4.3 CONCLUSIONES.

Dado el contraste con la amplitud de dispersión en las medidas $Q_{||}$ y Q_{\perp} (con la reserva de que las medidas, en la muestra, hayan sido tomadas en las mismas zonas de comparación), sugieren: que en el proceso de nucleación las cavidades, en primera aproximación, presentan una forma elipsoidal muy alargada. A excepción de la zona cercana a la fractura, las medidas RK1232 para $Q_{||}$ y RK1299 para Q_{\perp} , donde las medidas sugieren que la forma de las cavidades son aproximadamente esféricas ya que la dispersión en ambas son casi iguales.

Con respecto a las técnicas SANS y VSANS. De los resultados anteriores se desprende que:

$R_s \approx 0.838 \pm 0.0003 \mu\text{m}$	Técnica SANS
$R \approx 1.079 \pm 0.0004 \mu\text{m}$	Técnica SANS (para cavidades esféricas)
$RM \approx 0.785 \pm 0.04 \mu\text{m}$	Técnica VSANS

El valor de las incertidumbres presentadas no son del todo confiables, pues resta considerar el error involucrado por la rendija finita. Únicamente reflejan el grado de confiabilidad de la nueva técnica VSANS. En base a estos resultados creo que VSANS puede ser aplicada al estudio de cavidades con un buen grado de confiabilidad.

En VSANS se sugiere que la distribución del tamaño de las cavidades obedece aproximadamente a una distribución Log-Normal.

Esta debe ser corroborada y no debe tomarse como una afirmación al 100%. Diversas teorías producen diversas distribuciones de tamaños $N_1(R)$, $N_2(R)$, ..., $N_n(R)$. Aquí se propuso una de ellas (la Log-Normal), pero en principio deberían proponerse varias (las que predija la teoría). Estas deberían entonces substituirse en la Ecuación 2.3.16:

$$\sigma_{\text{TEO-EXP.}}(\theta) = \int_{-\infty}^{\infty} \left[\int_{R_{\text{MIN.}}}^{R_{\text{MAX.}}} n(R) \sigma(\theta', R) dR \right] R(\theta - \theta') d\theta' \quad 2.3.16$$

Sustituir aquella distribución $N(R)$ que mejor reproduzca los resultados experimentalmente.

La corrección por dispersión múltiple podría ser evitada si se tomase una muestra más delgada, sin embargo esto implicaría una disminución en la densidad de cavidades y por lo tanto un incremento en la transmisión por lo que el análisis debiera hacerse con mucho mayor detalle. Inicialmente se tenía la idea que dicha dispersión aparecería inevitablemente por lo que el espesor de la muestra era en ese momento adecuada.

Los fracturistas podrían encontrar en esta técnica una herramienta útil, si se trata de investigar el crecimiento y distribución de cavidades en el mecanismo de fractura.

Esta técnica desafortunadamente no puede ser aplicada en México, específicamente en el Instituto Nacional de Investigaciones Nucleares (ININ), dado que no se cuenta con un difractor de doble cristal de alta resolución como en el caso de Grenoble. Sin embargo este puede ser instalado ya que de los ocho puertos seis están libres y desaprovechados.

APENDICES

APENDICE A

TABLA 1. RESULTADOS EXPERIMENTALES DE LA ALEACION NIMONIC 60A (Q II)

* TIEMPO	SIN HUESTRAS		CUERPO DE L. ALEACION (2.5 CM.)		ENTRE CUERPO Y CUERPO (1.5 CM.)		MITAD (1 CM.)		ENTRE MITAD Y MITAD (0.5 CM.)		FRACTURA (0.5 CM.)	
	(R1211)		(R1228)		(R1230)		(R1231)		(R1232)		(R1233)	
	1	2	1	2	1	2	1	2	1	2	1	2
00	00	00	00	00	00	00	00	00	00	00	00	00
05	05	05	05	05	05	05	05	05	05	05	05	05
10	10	10	10	10	10	10	10	10	10	10	10	10
15	15	15	15	15	15	15	15	15	15	15	15	15
20	20	20	20	20	20	20	20	20	20	20	20	20
25	25	25	25	25	25	25	25	25	25	25	25	25
30	30	30	30	30	30	30	30	30	30	30	30	30
35	35	35	35	35	35	35	35	35	35	35	35	35
40	40	40	40	40	40	40	40	40	40	40	40	40
45	45	45	45	45	45	45	45	45	45	45	45	45
50	50	50	50	50	50	50	50	50	50	50	50	50
55	55	55	55	55	55	55	55	55	55	55	55	55
60	60	60	60	60	60	60	60	60	60	60	60	60
65	65	65	65	65	65	65	65	65	65	65	65	65
70	70	70	70	70	70	70	70	70	70	70	70	70
75	75	75	75	75	75	75	75	75	75	75	75	75
80	80	80	80	80	80	80	80	80	80	80	80	80
85	85	85	85	85	85	85	85	85	85	85	85	85
90	90	90	90	90	90	90	90	90	90	90	90	90
95	95	95	95	95	95	95	95	95	95	95	95	95
100	100	100	100	100	100	100	100	100	100	100	100	100
105	105	105	105	105	105	105	105	105	105	105	105	105
110	110	110	110	110	110	110	110	110	110	110	110	110
115	115	115	115	115	115	115	115	115	115	115	115	115
120	120	120	120	120	120	120	120	120	120	120	120	120
125	125	125	125	125	125	125	125	125	125	125	125	125
130	130	130	130	130	130	130	130	130	130	130	130	130
135	135	135	135	135	135	135	135	135	135	135	135	135
140	140	140	140	140	140	140	140	140	140	140	140	140
145	145	145	145	145	145	145	145	145	145	145	145	145
150	150	150	150	150	150	150	150	150	150	150	150	150
155	155	155	155	155	155	155	155	155	155	155	155	155
160	160	160	160	160	160	160	160	160	160	160	160	160
165	165	165	165	165	165	165	165	165	165	165	165	165
170	170	170	170	170	170	170	170	170	170	170	170	170
175	175	175	175	175	175	175	175	175	175	175	175	175
180	180	180	180	180	180	180	180	180	180	180	180	180
185	185	185	185	185	185	185	185	185	185	185	185	185
190	190	190	190	190	190	190	190	190	190	190	190	190
195	195	195	195	195	195	195	195	195	195	195	195	195
200	200	200	200	200	200	200	200	200	200	200	200	200
205	205	205	205	205	205	205	205	205	205	205	205	205
210	210	210	210	210	210	210	210	210	210	210	210	210
215	215	215	215	215	215	215	215	215	215	215	215	215
220	220	220	220	220	220	220	220	220	220	220	220	220
225	225	225	225	225	225	225	225	225	225	225	225	225
230	230	230	230	230	230	230	230	230	230	230	230	230
235	235	235	235	235	235	235	235	235	235	235	235	235
240	240	240	240	240	240	240	240	240	240	240	240	240
245	245	245	245	245	245	245	245	245	245	245	245	245
250	250	250	250	250	250	250	250	250	250	250	250	250
255	255	255	255	255	255	255	255	255	255	255	255	255
260	260	260	260	260	260	260	260	260	260	260	260	260
265	265	265	265	265	265	265	265	265	265	265	265	265
270	270	270	270	270	270	270	270	270	270	270	270	270
275	275	275	275	275	275	275	275	275	275	275	275	275
280	280	280	280	280	280	280	280	280	280	280	280	280
285	285	285	285	285	285	285	285	285	285	285	285	285
290	290	290	290	290	290	290	290	290	290	290	290	290
295	295	295	295	295	295	295	295	295	295	295	295	295
300	300	300	300	300	300	300	300	300	300	300	300	300
305	305	305	305	305	305	305	305	305	305	305	305	305
310	310	310	310	310	310	310	310	310	310	310	310	310
315	315	315	315	315	315	315	315	315	315	315	315	315
320	320	320	320	320	320	320	320	320	320	320	320	320
325	325	325	325	325	325	325	325	325	325	325	325	325
330	330	330	330	330	330	330	330	330	330	330	330	330
335	335	335	335	335	335	335	335	335	335	335	335	335
340	340	340	340	340	340	340	340	340	340	340	340	340
345	345	345	345	345	345	345	345	345	345	345	345	345
350	350	350	350	350	350	350	350	350	350	350	350	350
355	355	355	355	355	355	355	355	355	355	355	355	355
360	360	360	360	360	360	360	360	360	360	360	360	360
365	365	365	365	365	365	365	365	365	365	365	365	365
370	370	370	370	370	370	370	370	370	370	370	370	370
375	375	375	375	375	375	375	375	375	375	375	375	375
380	380	380	380	380	380	380	380	380	380	380	380	380
385	385	385	385	385	385	385	385	385	385	385	385	385
390	390	390	390	390	390	390	390	390	390	390	390	390
395	395	395	395	395	395	395	395	395	395	395	395	395
400	400	400	400	400	400	400	400	400	400	400	400	400
405	405	405	405	405	405	405	405	405	405	405	405	405
410	410	410	410	410	410	410	410	410	410	410	410	410
415	415	415	415	415	415	415	415	415	415	415	415	415
420	420	420	420	420	420	420	420	420	420	420	420	420
425	425	425	425	425	425	425	425	425	425	425	425	425
430	430	430	430	430	430	430	430	430	430	430	430	430
435	435	435	435	435	435	435	435	435	435	435	435	435
440	440	440	440	440	440	440	440	440	440	440	440	440
445	445	445	445	445	445	445	445	445	445	445	445	445
450	450	450	450	450	450	450	450	450	450	450	450	450
455	455	455	455	455	455	455	455	455	455	455	455	455
460	460	460	460	460	460	460	460	460	460	460	460	460
465	465	465	465	465	465	465	465	465	465	465	465	465
470	470	470	470	470	470	470	470	470	470	470	470	470
475	475	475	475	475	475	475	475	475	475	475	475	475
480	480	480	480	480	480	480	480	480	480	480	480	480
485	485	485	485	485	485	485	485	485	485	485	485	485
490	490	490	490	490	490	490	490	490	490	490	490	490
495	495	495	495	495	495	495	495	495	495	495	495	495
500	500	500	500	500	500	500	500	500	500	500	500	500

* CADA PASO CORRESPONDE A 1.25±10.4 GRADOS. (2.182±10.6 GRADOS).
 * TIME OUT (ESTOS DATOS NO TIENEN QUE SER TOMADOS EN CUENTA).
 FUENTE: ESTOS DATOS FUERON PROPORCIONADOS POR EL DR. J. PALACIOS (INV. DEL IPN) EN COMUNICACION PERSONAL.
 NOTA: EL TIEMPO PARA CADA LECTURA FUE DE 95 ± 4% PARA LAS MEDIDAS R1211 Y 75 ± 4% PARA LAS RESTANTES.

TABLA 2. RESULTADOS EXPERIMENTALES DE LA ALEACION NIMONIC 80A (Q₁)

SUCO ↑	SIN MUESTRA		CUERPO DE LA FRACTURA (2 cm.)		ENTRE MITAD Y CUERPO (1.5 cm.)		MITAD (1 cm.)		ENTRE MITAD Y FRACTURA (0.5 cm.)		FRACTURA (0 cm.)	
	(R1211)		(R1303)		(R1302)		(R1300)		(R1288)		(R1287)	
	D E T E C T E	C E N T R O	D E T E C T E	C E N T R O	D E T E C T E	C E N T R O	D E T E C T E	C E N T R O	D E T E C T E	C E N T R O	D E T E C T E	C E N T R O
1	81	68	55	40	07	53	72	55	53	43	23	17
2	104	88	81	57	82	53	84	66	33	26	24	18
3	123	100	88	41	86	50	85	66	28	24	20	15
4	131	108	95	38	108	47	82	65	25	20	19	14
5	136	116	100	35	111	44	77	62	24	19	18	13
6	142	124	108	32	119	41	72	60	23	18	17	12
7	154	134	116	29	127	38	67	57	22	17	16	11
8	158	142	124	26	134	35	62	54	21	16	15	10
9	166	150	132	23	141	32	57	51	20	15	14	9
10	170	158	140	20	148	29	52	48	19	14	13	8
11	176	166	148	17	155	26	47	45	18	13	12	7
12	184	174	156	14	162	23	42	42	17	12	11	6
13	188	182	164	11	169	20	37	39	16	11	10	5
14	194	190	172	8	177	17	32	36	15	10	9	4
15	202	198	180	5	184	14	27	33	14	9	8	3
16	206	206	188	2	191	11	22	30	13	8	7	2
17	214	214	196	0	199	8	17	27	12	7	6	1
18	222	222	204	0	206	5	12	24	11	6	5	0
19	226	230	212	0	214	2	7	21	10	5	4	0
20	230	238	220	0	222	0	2	18	9	4	3	0
21	234	242	228	0	230	0	0	15	8	3	2	0
22	238	250	236	0	238	0	0	12	7	2	1	0
23	242	258	244	0	246	0	0	9	6	1	0	0
24	246	266	252	0	254	0	0	6	5	0	0	0
25	250	274	260	0	262	0	0	3	4	0	0	0
26	254	282	268	0	270	0	0	0	3	0	0	0
27	258	290	276	0	278	0	0	0	2	0	0	0
28	262	298	284	0	286	0	0	0	1	0	0	0
29	266	306	292	0	294	0	0	0	0	0	0	0
30	270	314	300	0	302	0	0	0	0	0	0	0
31	274	322	308	0	310	0	0	0	0	0	0	0
32	278	330	316	0	318	0	0	0	0	0	0	0
33	282	338	324	0	326	0	0	0	0	0	0	0
34	286	346	332	0	334	0	0	0	0	0	0	0
35	290	354	340	0	342	0	0	0	0	0	0	0
36	294	362	348	0	350	0	0	0	0	0	0	0
37	298	370	356	0	358	0	0	0	0	0	0	0
38	302	378	364	0	366	0	0	0	0	0	0	0
39	306	386	372	0	374	0	0	0	0	0	0	0
40	310	394	380	0	382	0	0	0	0	0	0	0
41	314	402	388	0	390	0	0	0	0	0	0	0
42	318	410	396	0	398	0	0	0	0	0	0	0
43	322	418	404	0	406	0	0	0	0	0	0	0
44	326	426	412	0	414	0	0	0	0	0	0	0
45	330	434	420	0	422	0	0	0	0	0	0	0
46	334	442	428	0	430	0	0	0	0	0	0	0
47	338	450	436	0	438	0	0	0	0	0	0	0
48	342	458	444	0	446	0	0	0	0	0	0	0
49	346	466	452	0	454	0	0	0	0	0	0	0
50	350	474	460	0	462	0	0	0	0	0	0	0
51	354	482	468	0	470	0	0	0	0	0	0	0
52	358	490	476	0	478	0	0	0	0	0	0	0
53	362	498	484	0	486	0	0	0	0	0	0	0
54	366	506	492	0	494	0	0	0	0	0	0	0
55	370	514	500	0	502	0	0	0	0	0	0	0
56	374	522	508	0	510	0	0	0	0	0	0	0
57	378	530	516	0	518	0	0	0	0	0	0	0
58	382	538	524	0	526	0	0	0	0	0	0	0
59	386	546	532	0	534	0	0	0	0	0	0	0
60	390	554	540	0	542	0	0	0	0	0	0	0
61	394	562	548	0	550	0	0	0	0	0	0	0
62	398	570	556	0	558	0	0	0	0	0	0	0
63	402	578	564	0	566	0	0	0	0	0	0	0
64	406	586	572	0	574	0	0	0	0	0	0	0
65	410	594	580	0	582	0	0	0	0	0	0	0
66	414	602	588	0	590	0	0	0	0	0	0	0
67	418	610	596	0	598	0	0	0	0	0	0	0
68	422	618	604	0	606	0	0	0	0	0	0	0
69	426	626	612	0	614	0	0	0	0	0	0	0
70	430	634	620	0	622	0	0	0	0	0	0	0
71	434	642	628	0	630	0	0	0	0	0	0	0
72	438	650	636	0	638	0	0	0	0	0	0	0
73	442	658	644	0	646	0	0	0	0	0	0	0
74	446	666	652	0	654	0	0	0	0	0	0	0
75	450	674	660	0	662	0	0	0	0	0	0	0
76	454	682	668	0	670	0	0	0	0	0	0	0
77	458	690	676	0	678	0	0	0	0	0	0	0
78	462	698	684	0	686	0	0	0	0	0	0	0
79	466	706	692	0	694	0	0	0	0	0	0	0
80	470	714	700	0	702	0	0	0	0	0	0	0
81	474	722	708	0	710	0	0	0	0	0	0	0
82	478	730	716	0	718	0	0	0	0	0	0	0
83	482	738	724	0	726	0	0	0	0	0	0	0
84	486	746	732	0	734	0	0	0	0	0	0	0
85	490	754	740	0	742	0	0	0	0	0	0	0
86	494	762	748	0	750	0	0	0	0	0	0	0
87	498	770	756	0	758	0	0	0	0	0	0	0
88	502	778	764	0	766	0	0	0	0	0	0	0
89	506	786	772	0	774	0	0	0	0	0	0	0
90	510	794	780	0	782	0	0	0	0	0	0	0
91	514	802	788	0	790	0	0	0	0	0	0	0
92	518	810	796	0	798	0	0	0	0	0	0	0
93	522	818	804	0	806	0	0	0	0	0	0	0
94	526	826	812	0	814	0	0	0	0	0	0	0
95	530	834	820	0	822	0	0	0	0	0	0	0
96	534	842	828	0	830	0	0	0	0	0	0	0
97	538	850	836	0	838	0	0	0	0	0	0	0
98	542	858	844	0	846	0	0	0	0	0	0	0
99	546	866	852	0	854	0	0	0	0	0	0	0
100	550	874	860	0	862	0	0	0	0	0	0	0

CONTINUA PÁG. 52

TABLA 2. RESULTADOS EXPERIMENTALES DE LA ALEACION NIMONIC 80A (Q.)

F A C T O R S	SIN MUESTRA		CUERDA DE LA FRAC. (2 cm.)		ENTRE MITAD Y CUERDA (1.5 cm)		MITAD (1 cm.)		ENTRE MITAD Y FRAC. (0.5 cm)		FRAC. (0 cm.)	
	(R1211)		(R1302)		(R1302)		(R1300)		(R1288)		(R1287)	
	DET. CEC	DET. CEC	DET. CEC	DET. CEC	DET. CEC	DET. CEC	DET. CEC	DET. CEC	DET. CEC	DET. CEC	DET. CEC	DET. CEC
†	1	2	1	2	1	2	1	2	1	2	1	2
69							33	4	25			
70							27	2	18			
71							28	2	18			
72							25	2	18			
73							24	2	18			
74							24	2	18			
75							23	2	18			
76							17	2	14			
77							20	3	14			
78							18	3	12			
79							11	1	10			
80							14	1	10			
81							14	1	10			
82							13	1	10			
83							11	1	10			
84							11	1	10			
85							11	1	10			
86							11	1	10			
87							11	1	10			
88							10	1	10			
89							10	1	10			
90							10	1	10			
91							10	1	10			
92							10	1	10			
93							10	1	10			
94							10	1	10			
95							10	1	10			
96							10	1	10			
97							10	1	10			
98							10	1	10			
99							10	1	10			
100							10	1	10			
101							10	1	10			
102							10	1	10			
103							10	1	10			
104							10	1	10			
105							10	1	10			
106							10	1	10			
107							10	1	10			
108							10	1	10			
109							10	1	10			
110							10	1	10			
111							10	1	10			
112							10	1	10			
113							10	1	10			
114							10	1	10			
115							10	1	10			
116							10	1	10			
117							10	1	10			
118							10	1	10			
119							10	1	10			
120							10	1	10			

† CADA PASO CORRESPONDE A:

- * 1.25×10^{-4} RAD. (2.182×10^{-6} GRADOS).
- ** 2.50×10^{-4} RAD. (4.363×10^{-6} GRADOS).
- *** 1.67×10^{-4} RAD. (2.808×10^{-6} GRADOS).

* TIME OUT (ESTOS DATOS NO TIENEN QUE SER TOMADOS EN CUENTA)

FUENTE: ESTOS DATOS FUERON PROPORCIONADOS POR EL DR. J. PALACIOS (INV. DEL IPN) EN COMUNICACION PERSONAL.

NOTA: EL TIEMPO PARA CADA LECTURA FUE DE 85 PPG PARA LAS MEDIDAS RK1211 Y 75 PPG. PARA LAS RESTANTES

APENDICE B

SUBROUTINAS EMPLEADAS PARA EL CALCULO DE LA SECCION EFICAZ

DESCRIPCION GENERAL:

La FUNCION Jo calcula la función de Bessel del orden cero por métodos numéricos.

La FUNCION SIMPSON evalúa integrales usando "series de Simpson"⁴¹.

La FUNCION SIGMA-TEORICA evalúa la integral (ecuación 2.3.12 del capítulo II):

$$\sigma(\theta) = R^4 k^2 \left| \int_0^{\pi/2} (1 - e^{i\theta \cos \gamma}) J_0(Rz \sin \gamma) \sin \gamma \cos \gamma \, d\gamma \right|^2$$

Donde en FUNCION F se evalúa su argumento.

LA FUNCION LOGNORMAL es la función de distribución de tamaño de las cavidades que se propone para el presente trabajo (ecuación 1.3.1 del capítulo I):

$$n(R) = \frac{1}{R \sqrt{2\pi\sigma}} e^{-\ln^2(R/\bar{R})/2\sigma^2} dR$$

41. - Véase, por ejemplo Svokovski, P. 259.

FUNCION RESOLUCION es una función de distribución Lorenziana Ec. 4.2.2. que se desprende de la curva de resolución, RK1211.

$$L(x) = \frac{P_i}{1+x^2 p_i^2/3}$$

LA FUNCION SIGMA_VSANS calcula la sección eficaz esperada en el experimento, y está dada por:

$$\sigma_{\text{TEO-EXP.}}(\theta) = \int_{-\infty}^{\infty} \left[\int_{R_{\text{MIN.}}}^{R_{\text{MAX.}}} n(R) \sigma(\theta', R) dR \right] R(\theta - \theta') d\theta'$$

donde $n(R)$ es la FUNCION LOGNORMAL, $\sigma(\theta', R)$ es la FUNCION SIGMA_TEOERICA y $R(\theta - \theta')$ es FUNCION RESOLUCION. Véase, ecuación 2.3.16, capítulo II.

PROCEDURE RANGO_R determina los radios mínimo (Rmin) y máximo (Rmax) de una de las anteriores integrales elegidas por el criterio de máximo y mínimos, y pidiendo que el área bajo la curva sea el 99%.

FUNCION SIGMA_TEORICAT Y FUNCION RESOLUCION son subrutinas auxiliares que permiten optimizar el tiempo de programación.

SUBROUTINAS:

FUNCTION Jo(X:REAL):REAL;

(Este subprograma calcula la funcion de Bessel de orden cero por medio de)
 (una aproximacion numerica)

CONST

A:ARRAY[1..73] OF REAL=(-1.7E-19, 1.222E-17, -7.5885E-16, 4.125321E-14,
 -1.94383469E-12, 7.848696314E-11, -2.67925353056E-09, 7.608163592419E-08,
 -1.76194690776215E-06, 3.246032882100508E-05, -4.6062616620627505E-04,
 4.8191800694876045E-03, -3.4893789411408885E-02, 1.5806710233209726E-01,
 -3.700949387264978E-01, 2.6517861320333881E-01, -8.7234423528522219E-03,
 3.154594294978024E-01, -1.0E-20, 3.9E-19, -2.898E-17, 1.64349E-15,
 -8.747341E-14, 4.02633082E-12, -1.5837552542E-10, 5.24879478733E-09,
 -1.4407233274019E-07, 3.2065325378548E-06, -5.632079141058987E-05,
 7.5311359325777423E-04, -7.2879624795520792E-03, 4.7196689595763387E-02,
 -1.7730201278114358E-01, 2.8156734625504864E-01, 1.7903431407718266E-01,
 -2.7447430552974527E-01, -8.82922264065689883E-02, -1.0E-20, 2.0E-20,
 -1.1E-19, 5.5E-19, -2.88E-18, 1.631E-17, -1.0012E-16, 6.7481E-16,
 -5.06903E-15, 4.328598E-14, -4.3045789E-13, 5.168262309E-12,
 -7.884091377E-11, 1.63064848352E-09, -5.170594537069E-08,
 3.07518478751947E-06, -5.3852204681321174E-04, 1.9989206986950373E00,
 1.0E-20, -3.0E-20, 1.3E-19, -6.2E-19, 3.11E-18, -1.689E-17, 9.682E-17,
 -8.0999E-18, 4.25523E-15, -3.338328E-14, 3.0081451E-13, -3.20674742E-12,
 4.220121905E-11, -7.271915389E-10, 1.797245724797E-08,
 -7.1444984110608E-07, 8.83851934261185E-05, -3.1111709210674018E-02);

VAR

Y,Z,Q1,Q2,Q3,Q4,FX,I1,I2,I3,X4:REAL;
 J,I,N1,N2:BYTE;

BEGIN

Y:=ABS(X);
 Z:=Y*1.25E-01;
 IF Z<=1 THEN
 IF Z=0 THEN
 BEGIN
 Jo:=1;
 EXIT;
 END
 ELSE
 BEGIN
 I2:=4*SQR(Z)-2;
 N1:=1;
 N2:=18;
 END
 ELSE
 BEGIN
 Z:=1/Z;
 I2:=4*SQR(Z)-2;
 N1:=38;
 N2:=55;
 END;
 FOR J:=1 TO 2 DO
 BEGIN

```

Q3:=0;
Q2:=0;
FOR I:=N1 TO N2 DO
  BEGIN
    Q1:=Q2;
    Q2:=Q3;
    Q3:=I2*Q2-Q1*A(I);
  END;
FX:=(Q3-Q1)*5.0E-01;
IF (N1-19)<0 THEN
  BEGIN
    Jo:=FX;
    EXIT;
  END
ELSE
  IF (N1-19)>0 THEN
    BEGIN
      IF N1=56 THEN
        BEGIN
          I2:=COS(Y-7.853981633974483E-01);
          I3:=SIN(Y-7.853981633974483E-01);
          I4:=7.978845608028654E-01/SQRT(Y);
          FX:=FX*I;
          Jo:=I4*(I1*I2-FX*I3);
          EXIT;
        END
      ELSE
        BEGIN
          I1:=FX;
          N1:=56;
          N2:=73;
        END;
      END
    ELSE
      EXIT;
    END;
END;

FUNCTION SIMPSON(A, B:REAL; N:INTEGER; THETA, RADIO:REAL; WN:BYTE):REAL;
FORWARD;

FUNCTION SIGMA_WEISS(RADI, THTA:REAL):REAL;
CONST LAMDA=1.874E-10;
VAR K, R4K2, R1, R2:REAL;
PART:WORD;
BEGIN
  K:=(2*PI)/LAMDA;
  R4K2:=SQR(SQR(RADI)*K);
  R1:=SIMPSON(0, PI/2, 3, THTA, RADI, 2);
  R2:=SIMPSON(0, PI/2, 3, THTA, RADI, 3);
  SIGMA_WEISS:=R4K2*(SQR(R1)+SQR(R2));
END;

FUNCTION SIGMA_TEORICA(TTETHA:REAL):REAL;
VAR RMIN, RMAX:REAL;

PROCEDURE RANGO_R(VAR RMN, RMX:REAL);

```

```

TM, SM: REAL;

BEGIN
  TM:=SIGMA*SQR(2*LN(99));
  SM:=-SQR(SIGMA);
  RMN:=RM*EXP(SM-TM);
  RMX:=RM*EXP(SM+TM);
END; (Rango_r)

BEGIN
  RANGO_R(RMIN, RMAX);
  SIGMA_TEORICA:=S(MPSON(RMIN, RMAX, 3, TTETHA, 0.0, 1));
END; (Sigma_teorica)

```

```

FUNCTION SIGMA_TEORICAT(TTETHA: REAL): REAL;
VAR
  I, J, HI: SHORTINT;
BEGIN
  IF (BANDERA=FALSE) THEN
    BEGIN
      FILLCHAR(YA, SIZEOF(YA), 0);
      FOR I:=0 TO 30 DO
        BEGIN
          YA(I):=SIGMA_TEORICA(I);
          J:=-1;
          YA(J):=YA(I);
        END;
        BANDERA:=TRUE;
      END;
      HI:=ROUND(TTETHA);
      SIGMA_TEORICAT:=YA(HI);
    END;

```

```

FUNCTION F(Z, R, THETA: REAL; CASO: CHAR): REAL;
CONST
  DELT=4.13E-06;
  LAMDA=1.87E-10;
  DELTATHETA=2.1816816E-06;
VAR
  W, K, RZ, J: REAL;
BEGIN
  THETA:=THETA+DELTATHETA;
  K:=(2*PI)/LAMDA;
  W:=-2*K*DELT*R;
  RZ:=R*K*SIN(THETA);
  J:=J0(RZ*SIN(Z))*SIN(Z)*COS(Z);
  IF CASO='I' THEN
    F:=SIN(W*COS(Z))*J
  ELSE
    F:=(1-COS(W*COS(Z)))*J;
  END;

```

```

FUNCTION LOGNORMAL(R: REAL): REAL;
VAR
  O, H, Np, TEM: REAL;

```

```

BEGIN
  Np:=1;
  D:=(Np/(R+SQR(2*P1)*SIGMA));
  H:=-SQR(LN(R/RM))/(2*SQR(SIGMA));
  TEM:=D*EXP(H);
  IF DERIVADA=TRUE THEN
    TEM:=((-2*H)/(RM*LN(R/RM))*TEM; (dRM)
  IF DERIVADA2=TRUE THEN
    TEM:=((-2*H)-1)*TEM; (dSIGMA)
LOGNORMAL:=TEM;
END;

```

```

FUNCTION RESOLUCION(THEETA:REAL):REAL;
CONST
  P1=5.472E03;
  P2=0.6443;
BEGIN
  RESOLUCION:=(3*P1)/(3*SQR((THEETA)*P2));
END;

```

```

FUNCTION RESOLUCIONT(THEETA,THEE:REAL):REAL;
VAR
  I,J,H1,H2:SHORTINT;
BEGIN
  IF (BANDERA2=FALSE) THEN
    BEGIN
      FILLCHAR(YO,SIZEOF(YO),0);
      FOR I:=0 TO 30 DO
        BEGIN
          YO[I]:=RESOLUCION(I);
          J:=I;
          YO[J]:=YO[I];
        END;
      BANDERA2:=TRUE;
    END;
  H1:=ROUND(THEETA);
  H2:=ROUND(THEE);
  RESOLUCIONT:=YO[H1+H2];
END;

```

```

FUNCTION SIMPSON(A,B:REAL;N:INTEGER;THETA,RADIO:REAL;MN:BYTE):REAL;

```

```

( Funci"n que emula la Regla de Simpson:
{

$$\int_a^b f(x) dx \approx \frac{h}{3} [f(x_0) + 4f(x_1) + 2f(x_2) + 4f(x_3) + \dots + 2f(x_{n-2}) + 4f(x_{n-1}) + f(x_n)]$$

}

```

```

VAR
  I:INTEGER;
  H,SIMP,CAMBIO,INCR,INCREMENTO,PASO:REAL;

```

```

BEGIN

```

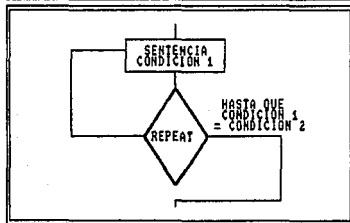
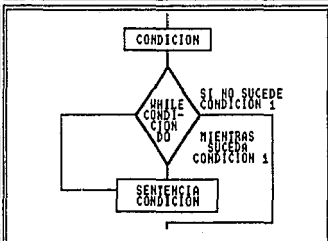
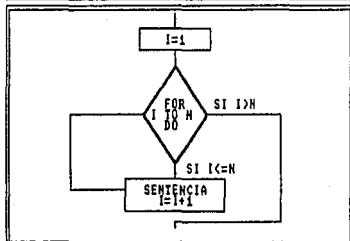
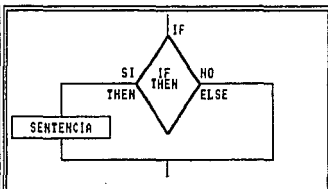
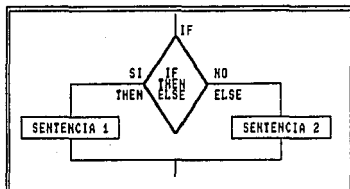
```

N:=N*2;
INCR:=(B-A)/N;
H:=(B-A)/(3*N);
SIMP:=0;
FOR I:=0 TO N DO
  BEGIN
    IF (I=0) OR (I=N) THEN CAMBIO:=1;
    INCREMENTO:=I*INCR;
    PASO:=A+INCREMENTO;
    CASE NN OF
      0:SIMP:=SIMP+CAMBIO*(SIGMA_TEDRICAT(PASO)*RESOLUCION(THETA,PASO));
      1:SIMP:=SIMP+CAMBIO*(LOGNORMAL(PASO)*SIGMA_WEISS(PASO,THETA));
      2:SIMP:=SIMP+CAMBIO*F(PASO,RADIO,THETA,'R');
      3:SIMP:=SIMP+CAMBIO*F(PASO,RADIO,THETA,'I');
    END;
    IF CAMBIO=4 THEN CAMBIO:=2 ELSE CAMBIO:=4;
  END;
SIMPSON:=SIMP*H;
END;

FUNCTION SIGMA_VSANS(TEET:REAL):REAL;
BEGIN
  SIGMA_VSANS:=SIMPSON(-30,30,30,TEET,0,0);
END;

```

Para aquellos que desconozcan la programación Pascal les será útil la presentación de los diagramas de flujo básicos del Pascal, con lo que se podría reconstruir todo el programa:



APENDICE C

SOLUCION ASINTOTICA DE LA ECUACION DE SCHRODINGER.

Consideremos una partícula moviéndose en un potencial esféricamente simétrico; consideremos, además, que tal potencial $V(r) \rightarrow 0$ cuando $r \rightarrow \infty$, con $V(r)=V(r)$. Tal potencial depende únicamente de la magnitud del radio vector a un punto fijo, el cual se tomará como el origen. Dado que el núcleo es mucho más masivo que el neutrón, elegiremos por conveniencia las coordenadas del sistema relativo a la partícula blanco (que coincidirá con el sistema centro de masa). Para describir el movimiento en un potencial de este tipo, es conveniente considerar la ecuación de Schrödinger para la partícula libre (independiente del tiempo)

$$-\frac{\hbar^2}{2\mu}\nabla^2\Psi + (V-E)\Psi = 0 \quad \text{C.1}$$

donde μ es la masa relativa. Por conveniencia se escribirá C.1 en coordenadas esféricas⁴²:

$$-\frac{\hbar^2}{2\mu}\left[\frac{1}{r^2}\frac{\partial}{\partial r}\left(r^2\frac{\partial\Psi}{\partial r}\right) + \frac{1}{r^2\sin\theta}\frac{\partial}{\partial\theta}\left(\sin\theta\frac{\partial\Psi}{\partial\theta}\right) + \frac{1}{r^2\sin^2\theta}\frac{\partial^2\Psi}{\partial\phi^2}\right] + V\Psi = E\Psi \quad \text{C.2}$$

Esta ecuación es separable⁴³, como se muestra a continuación:

$$\Psi(r, \theta, \phi) = R(r) Y(\theta, \phi) \quad \text{C.3}$$

$$\rightarrow \frac{\partial\Psi}{\partial r} = Y \frac{\partial R}{\partial r}, \quad \frac{\partial\Psi}{\partial\theta} = R \frac{\partial Y}{\partial\theta}, \quad \frac{\partial^2\Psi}{\partial\phi^2} = R \frac{\partial^2 Y}{\partial\phi^2}$$

42. - Véase referencia Eisberg y Resnick, 1986, P. 807.

43. - Por el teorema de unicidad en la solución, ésta solución debe ser única.

sustituyendo en C.2; multiplicando por $-2\mu r^2/\hbar^2$ y $1/R\psi$ en ambos lados de la igualdad y reagrupando términos, tenemos:

$$\frac{1}{R} \frac{\partial}{\partial r} \left(r^2 \frac{\partial R}{\partial r} \right) + \frac{2\mu r^2}{\hbar^2} [E-V] = -\frac{1}{\psi} \left[\frac{1}{\sin\theta} \frac{\partial}{\partial \theta} \left(\sin\theta \frac{\partial \psi}{\partial \theta} \right) + \frac{1}{\sin^2\theta} \frac{\partial^2 \psi}{\partial \phi^2} \right]$$

ambos lados de esta expresión son claramente independientes una de la otra, por lo que deben ser igual a una constante β .

∴ las ecuaciones radial y angulares de la ecuación de Schrödinger son⁴⁴:

$$\frac{1}{R} \left[\frac{d}{dr} \left(r^2 \frac{dR}{dr} \right) + \frac{2\mu r^2}{\hbar^2} [E-V] \right] = \beta \quad \text{C.4}$$

$$\frac{1}{\psi} \left[\frac{1}{\sin\theta} \frac{\partial}{\partial \theta} \left(\sin\theta \frac{\partial \psi}{\partial \theta} \right) + \frac{1}{\sin^2\theta} \frac{\partial^2 \psi}{\partial \phi^2} \right] = -\beta \quad \text{C.5}$$

Donde la Ec. C.3 es a su vez separable en

$$Y(\theta, \phi) = \Theta(\theta) \Phi(\phi) \quad \text{C.6}$$

$$\therefore \frac{\partial Y}{\partial \theta} = \Phi \frac{\partial \Theta}{\partial \theta}, \quad \frac{\partial^2 Y}{\partial \phi^2} = \Theta \frac{\partial^2 \Phi}{\partial \phi^2}$$

sustituyendo en C.3, multiplicando por $\sin^2\theta$ ambos lados de la igualdad y reagrupando términos, tenemos:

$$-\frac{1}{\Phi} \frac{\partial^2 \Phi}{\partial \phi^2} = \frac{1}{\Theta} \left[\sin\theta \frac{\partial}{\partial \theta} \left(\sin\theta \frac{\partial \Theta}{\partial \theta} \right) + \beta \sin^2\theta \right]$$

44.- Como la parte radial depende únicamente de r entonces se transforma en una derivada total.

por lo que, por los mismos argumentos anteriores, debe ser igual a una constante α^2

$$\frac{1}{\Phi} \frac{d^2 \Phi}{d\phi^2} = -\alpha^2 \quad \text{C.7}$$

$$\frac{1}{\Theta} \left[\text{sen} \theta \frac{d}{d\theta} \left(\text{sen} \theta \frac{d\Theta}{d\theta} \right) + \Theta \beta \text{sen}^2 \theta \right] = \alpha^2 \quad \text{C.8}$$

Pasemos entonces a encontrar las soluciones de las ecuaciones C.4, C.7 y C.8.

SOLUCION DE $\Phi(\phi)$.

La ecuación C.7, tenemos que puede escribirse como

$$\Phi'' + \Phi \alpha^2 = 0 \quad \text{C.9}$$

cuya solución es

$$\Phi(\phi) = A e^{i\alpha\phi}$$

donde A es una constante arbitraria. Pero Φ no es admisible como función propia, ya que no es, en general, una función de valores simples. Si sumamos 2π a ϕ , nos encontraremos en el mismo punto del espacio y por lo tanto, cuando esto suceda Φ no debe cambiar. Para que Φ tome valores simples impondremos la restricción:

$$\Phi(\phi + 2\pi) = \Phi(\phi) \quad \text{C.10}$$

$$\Rightarrow A e^{i\alpha\phi} e^{i\alpha 2\pi} = A e^{i\alpha\phi} \quad \Rightarrow e^{i\alpha 2\pi} = 1$$

\(\therefore\) para que $e^{i\gamma} = \cos\gamma + i\sin\gamma = 1$ se satisfaga, $\gamma = 2\pi m$. Donde $m=0, \pm 1, \pm 2, \pm 3, \dots$, por lo tanto

$$\alpha 2\pi = 2\pi m$$

$$\rightarrow \alpha = m \quad m = 0, \pm 1, \pm 2, \pm 3, \dots \quad \text{C.11}$$

El valor de A se obtiene normalizando $\bar{\psi}$

$$\int_0^{2\pi} |\bar{\psi}^2| d\phi = 1,$$

por lo tanto

$$\Rightarrow A = \frac{1}{\sqrt{2\pi}}$$

$$\therefore \bar{\psi}(\phi) = \frac{1}{\sqrt{2\pi}} e^{im\phi} \quad m = 0, \pm 1, \pm 2, \pm 3, \dots \quad \text{C.12}$$

SOLUCION DE $\Theta(\theta)$.

Multiplicando por $\frac{\Theta}{\sin^2\theta}$ la ecuación C.8, y considerando que $\alpha=m$ (Ec. C.11), tenemos

$$\frac{1}{\sin(\theta)} \frac{d}{d\theta} \left(\sin\theta \frac{d\Theta}{d\theta} \right) + \beta\Theta = \frac{m^2\Theta}{\sin^2\theta}$$

$$\rightarrow \frac{\cos\theta}{\operatorname{sen}\theta} \frac{d\theta}{d\theta} + \frac{d^2\theta}{d\theta^2} + \beta\theta = \frac{m^2\theta}{\operatorname{sen}^2\theta}$$

$$\rightarrow \frac{d^2\theta}{d\theta^2} + \cot\theta \frac{d\theta}{d\theta} + \beta\theta - \frac{m^2\theta}{\operatorname{sen}^2\theta} = 0 \quad \text{C.13}$$

para resolver la ecuación C.13 es conveniente introducir un cambio de variable. Sea

$$w = \cos \theta \quad \text{C.14}$$

que varía entre los límites -1 y $+1$, esto transforma la función θ en

$$\theta(\theta) = G(w). \quad \text{C.15}$$

aplicando la regla de la cadena tenemos que

$$\frac{d\theta}{d\theta} = \frac{dG}{dw} \frac{dw}{d\theta} = -\operatorname{sen}\theta \frac{dG}{dw} = -(1-\cos^2\theta)^{\frac{1}{2}} \frac{dG}{dw} = -(1-w^2)^{\frac{1}{2}} \frac{dG}{dw} \quad \text{C.16}$$

para calcular $\frac{d^2\theta}{d\theta^2}$ hacemos uso del álgebra de operadores

$$\begin{aligned} \frac{d^2\theta}{d\theta^2} &= -(1-w^2)^{\frac{1}{2}} \frac{d}{dw} \left[-(1-w^2)^{\frac{1}{2}} \frac{d}{dw} \right] \\ &= (1-w^2) \frac{d^2}{dw^2} + (1-w^2)^{\frac{1}{2}} \left(\frac{1}{2}(1-w^2)^{-\frac{1}{2}} (-2w) \frac{d}{dw} \right) \\ &= (1-w^2) \frac{d^2}{dw^2} - w \frac{d}{dw} \end{aligned} \quad \text{C.17}$$

nótese además que :

$$\cot\theta = \frac{\cos\theta}{\operatorname{sen}\theta} = \frac{\cos\theta}{(1-\cos^2\theta)^{\frac{1}{2}}} = \frac{w}{(1-w^2)^{\frac{1}{2}}}$$

sustituyendo los resultados anteriores en la ecuación C.13 tenemos que

$$(1-w^2) \frac{d^2 G}{dw^2} - w \frac{dG}{dw} \left[\frac{w}{(1-w^2)^{1/2}} \right] \left[-(1-w^2)^{1/2} \frac{dG}{dw} \right] + \beta G - \frac{m^2}{(1-w^2)} G = 0$$

$$\rightarrow (1-w^2) \frac{d^2 G}{dw^2} - 2w \frac{dG}{dw} \left[\beta - \frac{m^2}{(1-w^2)} \right] G = 0 \quad \text{C.18}$$

La ecuación C.18 es muy conocida en matemáticas, ya que son las Funciones Asociadas de Legendre (como se verá más adelante), multiplicadas por una constante de normalización. Se tiene entonces que

$$G(w) = K P_l^{m_l}(z) \quad \text{C.19}$$

cuya ecuación diferencial es

$$\rightarrow \left[(1-u^2) \frac{d^2}{du^2} - 2u \frac{d}{du} + \ell(\ell+1) - \frac{m^2}{(1-u^2)} \right] P_l^{m_l} = 0 \quad \text{[C.35]}$$

por los que los valores propios permitidos para el momento angular son⁴⁵

$$\beta = \ell(\ell+1) \quad \ell = 0, 1, 2, \dots \quad \text{C.20}$$

Finalmente, debemos obtener el valor de la constante K en la ecuación C.19 por condición de normalización, entonces:

$$\begin{aligned} \int_0^{2\pi} [\Theta(\theta)]^2 d\theta &= \int_{-1}^1 [G(w)]^2 dw = \int_0^{2\pi} K^2 \{P_l^{m_l}(\cos\theta)\}^2 d\theta \\ &= K^2 \int_0^{2\pi} \{P_l^{m_l}(\cos\theta)\}^2 d\theta \end{aligned}$$

45.- Una solución menos artificiosa consiste en proponer una solución en serie de potencia y por consiguiente deducir estos últimos resultados. Véase Pauling L and Wilson, 1935 pag 113.

$$(1-w^2) \frac{d^2 G}{dw^2} - w \frac{dG}{dw} \left[\frac{w}{(1-w^2)^{1/2}} \right] \left[-(1-w^2)^{1/2} \frac{dG}{dw} \right] + \beta G - \frac{m^2}{(1-w^2)} G = 0$$

$$\rightarrow (1-w^2) \frac{d^2 G}{dw^2} - 2w \frac{dG}{dw} + \left[\beta - \frac{m^2}{(1-w^2)} \right] G = 0 \quad \text{C.18}$$

La ecuación C.18 es muy conocida en matemáticas, ya que son las Funciones Asociadas de Legendre (como se verá más adelante), multiplicadas por una constante de normalización. Se tiene entonces que

$$G(w) = K P_l^{m_l}(z) \quad \text{C.19}$$

cuya ecuación diferencial es

$$\rightarrow \left[(1-u^2) \frac{d^2}{du^2} - 2u \frac{d}{du} + l(l+1) - \frac{m^2}{(1-u^2)} \right] P_l^{m_l} = 0 \quad \text{[C.35]}$$

por los que los valores propios permitidos para el momento angular son⁴⁵

$$\beta = l(l+1) \quad l = 0, 1, 2, \dots \quad \text{C.20}$$

Finalmente, debemos obtener el valor de la constante K en la ecuación C.19 por condición de normalización, entonces:

$$\int_0^{2\pi} [\Theta(\theta)]^2 d\theta = \int_{-1}^1 [G(w)]^2 dw = \int_0^{2\pi} K^2 \{P_l^{m_l}(\cos\theta)\}^2 d\theta$$

$$= K^2 \int_0^{2\pi} \{P_l^{m_l}(\cos\theta)\}^2 d\theta$$

45. - Una solución menos artificialista consiste en proponer una solución en serie de potencia y por consiguiente deducir estos últimos resultados. Véase Pauling L and Wilson, 1935 pag 113.

usando la ecuación C.37 (véase más adelante la normalización de los polinomios de Legendre) y exigiendo que $\Theta(\theta)$ esté normalizada tenemos

$$\int_0^{2\pi} [\Theta(\theta)]^2 d\theta = K^2 \left[\frac{2}{2l+1} \frac{(l+m)!}{(l-m)!} \right] = 1$$

$$\therefore K = \sqrt{\left[\frac{2l+1}{2} \frac{(l-m)!}{(l+m)!} \right]}$$

$$\therefore \Theta(\theta) = \sqrt{\left[\frac{2l+1}{2} \frac{(l-m)!}{(l+m)!} \right]} P_l^m(\cos\theta) \quad \text{C.21}$$

$$\therefore \Theta_{l,m}(\theta) = \sqrt{\frac{(2l+1)}{2} \frac{(l-m)!}{(l+m)!}} P_l^m(\cos\theta) \quad \begin{matrix} l = 0, 1, 2, \dots \\ m = 0, \pm 1, \pm 2, \dots \end{matrix} \quad \text{C.22}$$

SOLUCION DE R(r).

Ya hemos demostrado que $\beta = l(l+1)$ ($l = 0, 1, 2, \dots$); así que la ecuación C.4 toma la forma:

$$\frac{1}{R} \left[\frac{d}{dr} \left(r \frac{dR}{dr} \right) + \frac{2\mu r}{\hbar^2} [E - V] R \right] = l(l+1) \quad \text{C.23}$$

multiplicada por $\frac{R}{r^2}$, esta ecuación se transforma en

$$\frac{1}{r^2} \frac{d}{dr} \left(r^2 \frac{dR}{dr} \right) + \frac{2\mu}{\hbar^2} R [E - V] - \frac{1}{r^2} \ell(\ell+1) R = 0 \quad \text{C.23.a}$$

nos interesa obtener la expresión asintótica del valor de la componente radial (ya hemos supuesto que el potencial $V(r) \rightarrow 0$ cuando $r \rightarrow \infty$); así que, como primera aproximación, supongamos que $V(r) \approx 0$; por lo tanto, esta ecuación se transforma en

$$\frac{1}{r^2} \frac{d^2 R}{dr^2} + \frac{2\mu}{\hbar^2} R - \frac{\ell(\ell+1)}{r^2} R = 0$$

como $E = \frac{p^2}{2m}$ y $p = \hbar k \rightarrow k^2 = \frac{2\mu E}{\hbar^2}$

$$\frac{d^2 R}{dr^2} + \frac{2}{r} \frac{dR}{dr} \left[k^2 - \frac{\ell(\ell+1)}{r^2} \right] R = 0$$

reagrupando términos tenemos

$$\frac{1}{k^2} \frac{d^2 R}{dr^2} + \frac{2}{kr} \frac{1}{k} \frac{dR}{dr} \left[1 - \frac{\ell(\ell+1)}{(kr)^2} \right] R = 0 \quad \text{C.24}$$

haciendo un cambio de variable. Sea $\rho = kr$, entonces

$$\frac{d}{d\rho} \frac{dR}{d\rho} \frac{d}{d\rho} = \frac{1}{k} \frac{d}{dr} ; \quad \frac{d^2}{d\rho^2} = \frac{1}{k^2} \frac{d^2}{dr^2}$$

por lo que la ecuación C.24 se transforma en

$$\frac{d^2 R}{d\rho^2} + \frac{2}{\rho} \frac{dR}{d\rho} \left[1 - \frac{\ell(\ell+1)}{\rho^2} \right] R = 0 \quad \text{C.25}$$

La ecuación C.25 es muy conocida en matemáticas, ya que son las Funciones Esféricas de Bessel (véase más adelante), multiplicadas por una constante de normalización C_l .

$$R_{kl}(R) = C_l j_l(R) \quad \text{C.26}$$

donde $j(\rho) = \sqrt{\frac{2}{\pi\rho}} J_{l+\frac{1}{2}}(\rho)$ y $J(\rho)$ es la función de Bessel ordinaria (cilíndrica), y C_l es una constante de normalización para la l -ésima onda. Véase ecuación C.43.

cuya solución asintótica es

$$j_l \underset{\rho \rightarrow \infty}{\approx} \frac{1}{\rho} \text{sen}(\rho - \frac{1}{2}l\pi)$$

ya que $V(r)$ resulta despreciable para r grande, la presencia del potencial no puede alterar la forma funcional, pero sí podría alterar la fase de la función senoidal. Entonces, se tiene que

$$R_{kl} \underset{\rho \rightarrow \infty}{\approx} \frac{\text{sen}(kr - \frac{1}{2}l\pi + \delta_l)}{kr} \quad \text{C.27}$$

$$R_{kl} \approx C_l \frac{\text{sen}(kr - \frac{1}{2}l\pi + \delta_l)}{kr} \quad \text{C.28}$$

donde δ_l es una constante (el corrimiento de fase), y el factor común se ha elegido de acuerdo con la normalización de la función de onda «en la escala k ». La constante de fase δ_l se determina mediante la condición de contorno (finitud de R_{kl} para $r \rightarrow 0$).

para lo que hay que resolver la ecuación de Schrödinger exacta, y no se puede calcular de forma general. Los corrimientos de fase δ_l son funciones tanto de l como de k , y constituyen una importante característica de las funciones de onda del espectro continuo.

POLINOMIOS Y FUNCIONES ASOCIADAS DE LEGENDRE; ARMONICOS ESFERICOS.

POLINOMIOS DE LEGENDRE

Las Funciones de Legendre o Polinomios de Legendre $P_l(z)$ pueden ser definidas por medio de una función generadora $T(t, z)$ tal que:

$$T(t, z) = \sum_{l=0}^{\infty} P_l(z) t^l \equiv \frac{1}{\sqrt{1-2tz+t^2}} \quad l = 0, 1, 2, \dots, \infty \quad \text{C.29}$$

Derivando la función generatriz respecto a t y a z podemos encontrar algunas de sus relaciones de recurrencia.

$$(\ell+1)P_{\ell+1}(z) - (2\ell+1)zP_{\ell}(z) + \ell P_{\ell-1}(z) = 0 \quad \text{C.30}$$

$$P'_{\ell+1}(z) - 2zP'_{\ell}(z) + P'_{\ell-1}(z) - P_{\ell}(z) = 0 \quad \text{C.31}$$

Una relación más simple puede ser obtenida por la combinación de C.30 y C.31

$$P'_{\ell+1}(z) - zP'_{\ell}(z) - (\ell+1)P_{\ell}(z) = 0 \quad \text{C.32}$$

Combinando estos resultados se puede encontrar la ecuación diferencial que satisface $P_{\ell}(z)$.

$$\therefore \frac{d}{dz} \left[(1-z^2) \frac{dP_l(z)}{dz} \right] + \ell(\ell+1)P_l(z) = 0 \quad \text{C.33}$$

esta es la ecuación diferencial que satisfacen los Polinomios de Legendre.

FUNCIONES ASOCIADAS DE LEGENDRE:

Las Funciones Asociadas de Legendre de grado ℓ y orden m (con valores $\ell=0,1,2,\dots$ y $m=0,1,2,\dots,\ell$), en término de los Polinomios de Legendre, se definen por medio de la ecuación

$$P_l^{(m)}(z) = (1-z^2)^{\frac{m}{2}} \frac{d^m}{dz^m} P_l(z) \quad \text{C.34}$$

y cuya ecuación generadora es

$$T(t, z) = \sum_{l=0}^{\infty} P_l^{(m)}(z) t^l \equiv \frac{t^m}{[1-2tz+t^2]^{m+1/2}} (2m-1)!! (1-u^2)^{\frac{1}{2}m}$$

La ecuación diferencial que satisface esas funciones puede ser encontrada al tomar la ecuación C.33 y derivarla m veces y, reagrupando términos, obtenemos

$$(1-z^2) \frac{d^2 P_l^{(m)}(z)}{dz^2} - 2z \frac{d P_l^{(m)}(z)}{dz} + (\ell(\ell+1) - \frac{m^2}{(1-z^2)}) P_l^{(m)}(z) = 0 \quad \text{C.35}$$

con sus respectivas funciones de recurrencia

$$(\ell+1-m) P_{\ell+1}^{(m)}(z) - (2\ell+1)z P_{\ell}^{(m)}(z) + (\ell+m) P_{\ell-1}^{(m)}(z) = 0 \quad \text{C.36}$$

$$(1-z^2) \frac{d}{dz} \left[P_l^m(z) \right] = -lz P_l^m(z) + (l+m) P_{l-1}^m(z) \\ = (l+1-m) P_{l+1}^m(z) - (l+1) z P_l^m(z) =$$

cuya función normalizada⁴⁶

$$\int_{-1}^1 P_l^m P_{l'}^m(z) dz = \begin{cases} 0 & \text{si } l' \neq l \\ \frac{2}{2l+1} \frac{(l+m)!}{(l-m)!} & \text{si } l' = l \end{cases} \quad \text{C.37}$$

FUNCIONES DE BESSEL Y FUNCIONES ESFERICAS DE BESSEL.

FUNCIONES DE BESSEL (CILINDRICAS).

Por definición⁴⁷, en coordenadas cilíndricas, la función Generadora de las funciones de Bessel de orden n se definen como

$$e^{z(t-1/t)/2} = \sum_{n=-\infty}^{\infty} J_n(z) t^n \quad \text{C.38}$$

donde

$J_n(z)$ satisface la ecuación diferencial⁴⁸

46. - Para mayor detalle de como se obtiene esta normalización consúltese a Pauli L y Wilson E., 1935, P. 448.

47. - Véase Marden, 1978, P. 382. De esta función generadora se desprenden algunas importantes relaciones de Bessel.

48. - El procedimiento que deduce esta ecuación diferencial así como algunas propiedades importantes es análoga al que se aplicó para los Polinomios de Legendre (Ec. B.19) por lo que es innecesario deducirlas.

$$\frac{d^2}{dz^2} J_n(z) + \frac{1}{z} \frac{d}{dz} J_n(z) + \left(1 - \frac{n^2}{z^2}\right) J_n(z) = 0 \quad \text{C.39}$$

J_n y J_{-n} satisfacen la ecuación anterior

Las funciones de Bessel tienen muchas propiedades interesantes que pueden demostrarse a través de la función generadora. Tal como las siguientes relaciones de recurrencia:

$$z J_{n-1}(z) - 2n J_n(z) + z J_{n+1}(z) = 0 \quad \text{C.40}$$

$$\frac{d}{dz} J_n(z) = \frac{1}{2} J_{n-1}(z) + \frac{1}{2} J_{n+1}(z) \quad \text{C.41}$$

$$\frac{d}{dz} \left\{ z^n J_n(z) \right\} = z^n J_{n-1}(z)$$

FUNCIONES ESFERICAS DE BESSEL.

Un caso especial de las Ecuaciones de Bessel (C.39) son las Funciones Esféricas de Bessel $j_n(\rho)$, cuya ecuación diferencial que la satisface es:

$$\frac{d^2}{d\rho^2} j_n(\rho) + \frac{2}{\rho} \frac{d}{d\rho} j_n(\rho) + \left(1 - \frac{n(n+1)}{\rho^2}\right) j_n(\rho) = 0 \quad \text{C.42}$$

y que están relacionadas mediante la ecuación

$$j_n(\rho) = \sqrt{\frac{\pi}{2\rho}} J_{n+\frac{1}{2}}(\rho) \quad \text{C.43}$$

donde $J_{n+\frac{1}{2}}(\rho)$ es la Función de Bessel ordinaria (cilíndrica) de orden $n+\frac{1}{2}$.

cuya solución asintótica tiene la forma

$$j_n(\rho) \underset{\rho \rightarrow \infty}{\approx} \frac{1}{\rho} \sin(\rho - \frac{1}{2}l\pi) \quad \rho \gg l(l+1)$$

cuyas relaciones de recurrencia son⁴⁹

$$\Rightarrow (2l+1)j_l(\rho) = \rho j_{l-1}(\rho) + \rho j_{l+1}(\rho) \quad \text{C.44}$$

$$\therefore \frac{d}{d\rho}(U_l) = \left[\frac{l}{2l+1} \right] j_{l-1}(\rho) + \left[\frac{l+1}{2l+1} \right] j_{l+1}(\rho) \quad \text{C.45}$$

que pueden reescribirse como

$$(2l+1)J_l = \rho [J_{l+1} + J_{l-1}] \quad \text{C.46}$$

$$J_{l-1} = \left[\frac{d}{d\rho} + \frac{l+1}{\rho} \right] J_l \quad \text{C.47}$$

49. - Estas relaciones se puede probar a través de la relación:

$$j_n(\rho) = \sqrt{\frac{\pi}{2}} \sqrt{\frac{1}{\rho}} J_{n+\frac{1}{2}}(\rho)$$

de la función de Bessel.

APENDICE D

Sea x una variable aleatoria que obedece una ley de Probabilidad Normal [Parzen, 1929, pag. 180]:

$$f_x(x) = \frac{1}{\sigma\sqrt{2\pi}} e^{-\frac{1}{2}((x-m)/\sigma)^2} \quad \text{D.1}$$

donde m es la media y σ^2 es la desviación estandar de la distribución normal. Estos parámetros son independientes.

Se dice que la variable aleatoria Y obedece la ley de probabilidad Log-Normal, si

$$Y = e^X \quad \text{D.2}$$

Y la densidad de probabilidad esta dada por [Parzen, 1929, P. 312]:

$$f_y(y) = f_x[g^{-1}(y)] \left| \frac{d}{dy} g^{-1}(y) \right| \quad \text{si } \alpha < y < \beta \quad \text{D.3}$$

donde

$$y = g(x), \quad \alpha = \min(\alpha', \beta') \quad \text{y} \quad \beta = \max(\alpha', \beta')$$

con

$$\alpha' = \lim_{x \rightarrow -\infty} g(x) \quad \text{y} \quad \beta' = \lim_{x \rightarrow \infty} g(x)$$

En nuestro caso $g(x) = e^x$ y $\alpha' = 0, \beta' = \infty \rightarrow \alpha = 0$ y $\beta = \infty$

de D.3 y D.1

$$f_y(y) = \frac{1}{\sigma\sqrt{2\pi}} e^{-\frac{1}{2}((\ln y - m)/\sigma)^2} \left| \frac{d}{dy} \ln y \right|$$

$$\rightarrow f_r(y) = \frac{1}{\sigma\sqrt{2\pi}} \frac{1}{y} e^{-\frac{1}{2}(\ln y - m)/\sigma)^2} \quad \text{D.4}$$

la media μ y varianza δ^2 de esta distribución es según Parzen (Pag. 348):

$$\left. \begin{aligned} \mu &= e^{m + \frac{1}{2}\sigma^2} \\ \delta^2 &= e^{2m + 2\sigma^2} - e^{2m + \sigma^2} \end{aligned} \right\} \quad \text{D.5}$$

La Ec.D.4 puede quedar (omitiendo el subíndice y) como

$$f(y) = \frac{1}{\sigma\sqrt{2\pi}} \frac{1}{y} e^{-\frac{1}{2}(\ln^2 y / y^2) / \sigma^2} \quad \text{D.6}$$

con

$$\ln y^* = m \quad \text{D.7}$$

Esta es la ecuación sugerida para la distribución del tamaño de las cavidades dentro de una muestra sometida a termofluencia. No obstante, no debe interpretarse y^* como el radio promedio, ni a σ^2 como la dispersión de los radios. Estos son los que dan las Ecs. D.5.

BIBLIOGRAFIA

- 1 Ashby M. F., Gandhi C. and Taplin D. M. R., FRACTURE-MECHANISM MAPS AND THEIR CONSTRUCTION FOR F.C.C. METALS AND ALLOYS, Vol. 27, pp. 699-729, Acta. Met., 1979.
- 2 Bacon G. E., NEUTRON DIFRACTION, third edition, Clarendon Press, Oxford, 1975.
- 3 Bransden B. H. ATOMIC COLLISION ON THEORY, W. A. Benjamin Inc., N. Y., 1970.
- 4 Chen I. W. and Argon A. S., CREEP CAVITATION IN 304 STAINLESS STEEL, vol. 29, PP. 1321-1333, Act. Metall., 1981.
- 5 Eisberg R. y Resnick R., FISICA CUANTICA, Limusa, México, 1986.
- 6 Ferdova I. S. and Schmidt. P. W., A GENERAL ANALYTICAL METHOD FOR CALCULATING PARTICLE-DIMENSION DISTRIBUTIONS FROM SCATTERING DATA, J. Appl. Cryst., Vol 11, 405-411, 1978.
- 7 Gerold V. and Kostorz G. SMALL-ANGLE SCATTERING APLICATIONS TO MATERIALS SCIENCE", J. Appl. Cryst., Vol. 11, 367-404, 1978.

- 8 Guinier A. and Fournet G., SMALL ANGLE SCATTERING OF X-RAYS, John Wiley, New York, 1955.
- 9 Holton G. y Roller D., FUNDAMENTOS DE FISICA MODERNA, Reverte Barcelona, 1963.
- 10 Institut Max Von Lau, Paul Langevin, Grenoble, France, NEUTRON RESEARCH FACILITIES AT THE ILL FLUX REACTOR, Edition of June, 1986.
- 11 Kostorz G., SMALL-ANGLE SCATTERING AND ITS APPLICATIONS TO MATERIALS SCIENCE, T tise on Material Science and Tecnology, Vol 15, pp. 227-289, 1979.
- 12 Kostorz G., "Small-Angle Scattering", Secc. 5.1 PP. 828-833, en Cahn R. W. and Haase P, Editores, PHYSICAL METALLURGY, Part 1, Third Edition, North-Holland Physics Publishing, Amsterdam, 1983.
- 13 Ladislau Marton, METHODS OF EXPERIMENTAL PHYSICS, Vol. 23, parte A: NEUTRON SATTERING, Academic Press, N. Y., 1959.
- 14 Landau L. D. y Lifshitz E. M., QUANTUM MECHANICS, NON-RELATIVISTIC THEORY, Addison-Wesley, 1958.
- 15 Lang J. and Müller, A PROCEDURE FOR NONLINEAR LEAST SQUARES REFINEMENT IN ADVERSE PRACTICAL CONDITIONS, Computer Physics Communications 2, North-Hollan Publishing Company, 1971.
- 16 Lehmann, INTERACTION OF RADIATION WITH SOLIDS AND ELEMENTARY DEFECT PRODUCTION, North-Holland Publishing Company, Amsterdam, 1977.

- 17 Marsden Jerrold E. BASIC COMPLEX ANALYSIS, W. H. Freeman and Company, N. Y., 1973.
- 18 McLean D., A NOTE ON THE METALLOGRAPHY OF CRACKING DURING CREEP, Journal of the Institute of Metals, Vol. 85, pp. 468-472, 1957.
- 19 Melissinos Adrian C. EXPERIMENTS IN MODERN PHYSICS, Academic Press, N. Y. 1968.
- 20 Monkkenbuch Michael, DEMUXIMUX: REMOVAL OF MULTIPLE SCATTERING FROM SMALL-ANGLE DATA, Computer Programs, J. Appl. Cryst, Vol. 24, 1991.
- 21 Palacios J., Schwahn D. and Rauch H., HIGH ANGULAR RESOLUTION NEUTRON TRANSMISSION MEASUREMENT- A PROPOSED NON-DESTRUCTIVE MATERIALS TESTING METHODS, NDT-International, Agosto de 1980.
- 22 Parzen Emanuel, MODERN PROBABILITY THEORY AND ITS APPLICATIONS, J. Willey, N. Y., 1929.
- 23 Paulin L. and Wilson E. S., INTRODUCCION TO QUANTUM MECHANICS WITH APPLICATION TO CHEMISTRY, Mc Graw-Hill, N. Y., 1935.
- 24 Rodberg Leonars and Thaler R.M; INTRODUCTION TO THE QUANTUM THEORY OF SCATTERING, Academic Press, N.Y. 1967.
- 25 Saxon David S., ELEMENTOS DE MECANICA CUANTICA, EASO, México, 1968.
- 26 Schiff L. I., QUANTUM MECHANICS, McGraw-Hill, N. Y., 1950.

- 27 Schmatz W., Springer T. and Schelten J., NEUTRON SMALL-ANGLE SCATTERING: EXPERIMENTAL TECHNIQUES AND APPLICATIONS, J. Appl. Cryst., Vol. 7, pp 96-116, 1974.
- 28 Schmatz W., NEUTRON SMALL-ANGLE SCATTERING: EXPERIMENTAL TECHNIQUES AND APPLICATIONS, Proceeding of the conference on Neutron Scattering Vol II Catlingburg Tenesse USA, June 6-10, 1976.
- 29 Schwahn D. and Palacios J., EVALUATION OF CREEP INDUCED CAVITIES IN ALLOY 713 LC AND NIMONIC 80 A USING NEUTRON SCATTERING, Mimeo, s.f.
- 30 Swokowski, Earl W., CALCULO CON GEOMETRIA ANALITICA, Wadsworth Internacional Iberoamericana, 1982.
- 31 Weaver C. W., INTERGRANULAR, STRUCTURE, AND CREEP OF A NIMONIC 80A-TYPE ALLOY, Journal of the Institute of Metal, Vol. 88, pp. 296-300, 1959.
- 32 Weaver C. W. INFLUENCE OF HEAT-TREATMENT AND COMPOSITION ON THE MICROSTRUCTURE AND CREEP BEHAVIOUR OF A NIMONIC 80A-TYPE ALLOY, Journal of the Institute of Metal, Vol. 88, pp. 462-467, 1959.
- 33 Weiss R. J., SMALL ANGLE SCATTERING OF NEUTRONS, Phys. Rev. Vol. 83, pp. 379-389, 1951.
- 34 Yang M. S., Weertman J. R. and Roth M., "small angle neutron scattering studies of microstructural changes in copper deformed at elevated temperatures", en MICROSTRUCTURAL CHARACTERIZACION OF MATERIALS BY NON-MICROSCOPICAL TECHNIQUES, Proceeding of the 5th Risø International Symposium on Metallurgy and

Materials Science, 3-7 September, 1984, P. 589.

35 Zachariasen W. H., THEORY OF X-RAY DIFFRACTION IN CRYSTALS,
Dover Publications Inc., New York, 1967.